Н<mark>АУКА-СТРОИТЕЛЬНОМУ ПРОИЗВОДСТВУ</mark>

Э. А. Валюков, И. З. Волчек

ПРОИЗВОДСТВО АСБЕСТОЦЕМЕНТНЫХ ИЗДЕЛИЙ МЕТОДОМ ЭКСТРУЗИИ



КОНТРОЛЬНЫИ ЛИСТОК СРОКОВ ВОЗВРАТА

КНИГА ДОЛЖНА БЫТЬ ВОЗВРАЩЕНА НЕ ПОЗЖЕ УКАЗАННОГО ЗДЕСЬ СРОКА

Колич. пред. выдач

Э. А. ВАЛЮКОВ, И. З. ВОЛЧЕК, кандидаты техн. наук

производство АСБЕСТОЦЕМЕНТНЫХ ИЗДЕЛИЙ МЕТОДОМ ЭКСТРУЗИИ



МОСКВА СТРОЙИЗДАТ 1975 6

Печатается по решению секции литературы по технологии строительных материалов редакционного совета Стройиздата от 23 апреля 1971 г.

Валюков Э. А., Волчек И. З. Производство асбестоцементных изделий методом экструзин. М., Стройиздат, 1975. 112 с. (Наука — строит. производству).

В книге обобщены сведения о новом технологическом способе изготовления асбестощементных изделий методом экструзин. Приведены результаты исследований, разработки и экспериментальной проверки экструзионной технологии изготовления асбестощементных изделий, выполненных в НИИАсбестидементе.

Книга рассчитана на инженерно-технических работников промышленности строительных материалов.

Табл. 30, рис. 46, список лит.: 119 назв.

c.1620243



B 30209—449 047(01)—75 251—75

Стройиздат, 1975

Государственная публичная библиотема р. В.Г. Белинского г. Сверидовск

Наличие в нашей стране богатейших месторождений асбеста и высокоразвитого цементного производства позволяет планировать дальнейшее значительное увеличение выпуска асбестоцементных из-

пелий

Изотовление асбестопементных заделий на отчественных предприятиях и за рубском осущиестванется в основном по круглосегонному способу производства. Этот способ обеспечивает получения выскокачественных матернально. Однамо ассортимент их ограничен листовами изделявам и трубами. Между тем дальнейшая индустриляктовами изделявам и трубами. Между тем дальнейшая индустрилякация строительства и необходимость синжения массо задянё и сооружений требуют создания из асбестопемента курипоразмерных п даги, панелей и других изделий поляой заводской готовности. В связи с этим в последние годы стали уделять вигимание разработке новых способо фолмования асбестопементых изделей.

Некоторое распространение получили способы формования вакуум-насасыванием и нижекцией. Этими методами стало возможным изготовлять фасонные комплектующие детали к листам и трубам. Извелия эти, олнако, имеют ограниченную длину, а сам способ из-

готовления, как и круглосеточный, является прерывным.

Получение асбестовленитых поговажных заделий, в том числе заделий сложной конфитурации в, наконец паделий гипа пустотелых плит и панелей, возможно способом экструэни. Этот способ состоит в том, что сървежую счесь, обладающую поределенной пластичноство, под возлействием усилий шиека или поршив выдавливают из сторых соответствует проблем мунацитука. В поределенной професс торых соответствует проблем мунацитука.

В ряде стран такому методу в последнее время сталн уделять значительное внимание, В СССР этот новый технологический про-

цесс разрабатывается в институте НИИАсбестцемент.

В настоящей книге приводятся данные о состоянии разработки и освоения экструзнонной технологии асбестоцементных изделий в

нашей стране и за рубежом.

Авторы выражают ексреннюю благодарность говарищам, которые оказали большую помощь при разработке и эксперинетальном
освоения экструзновной технологии изоговления асбестовементных
заделий — сотрудникам институть НИИАсбествемент, Ольтио-производственного предпраятия в Белгородского комбината асбестоцементных изделий.

ОСНОВНЫЕ ТЕНДЕНЦИИ ТЕХНИЧЕСКОГО РАЗВИТИЯ ПРОПЕССОВ ФОРМОВАНИЯ АСБЕСТОПЕМЕНТА

1. НОВЫЕ ТЕХНОЛОГИЧЕСКИЕ ПРОЦЕССЫ В ПРОИЗВОЛСТВЕ АСБЕСТОПЕМЕНТНЫХ ИЗЛЕЛИЙ

Основными видами эсбестопементных являются листы и трубы, которые широко используются в строительстве. Такой ассортимент обусловлен значительной степени способом их произволства круглосеточных листо- и трубоформовочных [4, 13, 73, 79, 84].

Принцип получения асбестоцемента на указанных машинах заимствован из бумажной и картоноделательной промышленности более 50 лет назал. Он состоит в том, что асбестоцемент получают из низкоконцентрированных асбестоцементных суспензий 14%), которые на круглосеточных машинах фильтруют с последующим вакуумированием и уплотнением.

Многолетний опыт получения асбестоцементных изделий на круглосеточных машинах привел к его значительному усовершенствованию. В результате асбестоцементные изделия, полученные этим методом, имеют высокие физико-механические показатели, а используемое оборудование обеспечивает значительную производительность [20]. Это основное достоинство рассматриваемой технологии обеспечило ее широкое использование в мировой практике. Вместе с тем советские и зарубежные исследователи продолжают работы по ее усовершенствованию с целью дальнейшего улучшения качества получаемых изделий и повышения производительности оборудования.

Высокое качество асбестоцементных изделий, получаемых на круглосеточных машинах, обусловлено прежде всего эффективным использованием армирующих свойств асбеста, это достигается мокрой распушкой асбеста и тщательным смешиваним асбеста с цементом при избытке воды. Вторым фактором, который способствует получению изделий с высокими прочностными показателями, является плоскостная ориентация асбес-

та в излелиях.

Известно, что эффективное использование волоков по отношению к возникающим напряжениям. Этот вопрос подробно рассмотрен проф. П. Н. Соколовым [79], Л. С. Зевиным и И. М. Фланибаум [42], которые показали, что коэффициент использования асбеста ($K_{\rm H}$) связан со степенью ориентации волокон следующей зависимостью:

$$K_{\rm H} = P\left(0.22 + 0.41 \frac{1}{1 + \frac{n}{m}}\right),$$
 (1)

При совпадении растягивающих асбестоцемент сил с направлением преимущественной сриентации волокон асбеста коэффициент $K_{\rm H}$ составляет для труб — 0,415; для листов — 0,345.

При отсутствии преимущественной ориентации в плоскости слоя коэффициент использования их армирующих свойств равен: для труб — 0,35 и для листов — 0,32.

круглосеточных машинах обестоцементных изделий на круглосеточных машинах обестечивает повышенный коэффициент использования армирующих свойств асбеста по сравнению с асбестоцементом, получаемым такими способами, при которых волокна асбеста расположены хаотически (методы инжекции, полусухого формования и др.). Для последних коэффициент использования волокон асбеста $K_1 = 0.25$, т. е. уменьшается на

60% для труб и на 38% для листовых изделий.
Однако анализ существующей технологии говорит

отом, что она не лишена ряда недостатков. Прежде воского следует отметить, что на первой стадин технологического процесса используется весьма большое количество воды, которая цужна для распушки асбеста смешивания его с цементом и для обеспечения фильтрации. В дальнейшем технологический процесс на листоот трубоформовочных машинах сводится к удалению избыточного содержания воды из асбестоцементной мяссить т. е. к повышению технологичесто отношения с 0,06 до 3.

Наличие в исходной смеси большого количества воды, часть которой связана достаточно прочно, затрудняет уплотнение материала и ограничивает получение изделий, обладающих высокой плотностью и прочностью.

Особенностью традиционной технологии является и по получаемые изделия вмеют словстую структуру, причем прилегающие друг к другу слои вследствие особенности процесса фильтрании обеднены цементом [13]. В результате прочность изделия на разрыв перпецдикулярию расположению слоев в 8—10 раз ниже прочности материала вдоль слоя. Это приводит к тому, что разрушение листовых изделий от морозной агрессии начинается, как правило, с расслоения.

Основным недостатком рассматриваемой технологии является сравнительно ограниченный ассортимент выпускаемых изделий.

Олним из способов, позволяющих расширить ассортимент выпускаемой продукции, является способ полусухого формования, разработанный ВНИИСтроммашем, НИИАсбестиементом и Краматорским шиферным заводом [22, 23, 59]. Сущность его заключается в том, что асбестоцементные смеси с низкой исходной влажностью (10-15%) подвергаются прокату под давлением до 200 · 105 Па. По сравнению с известным способом получения плоских асбестопементных листов он имеет ряд преимуществ. К ним, в частности, относится можность получения изделий с достаточно высокой механической прочностью на асбестах низких сортов. Проектная часовая производительность технологической линии составила 10 тыс. усл. плиток, что примерно в два раза выше производительности обычных листоформовочных машин. Это оборудование обеспечивает непрерывный процесс произволства и легко поллается автоматизации. Вследствие того что исходная влажность асбестоцементных смесей низка, этпадает необходимость в рекуперационных устройствах. Листы, получаемые из полусухих смесей, при использовании асбеста 6-го сорта имели предел прочности при изгибе 180-200-105 Па, а объемную массу более 1850 кг/м3. По этому способу можно изготовлять только плоские листы, поскольку полуфабрикат с низкой влажностью не поддается профилированию. Использование асбеста низких сортов хотя и приводит к удешевлению продукции, нако не обеспечивает необходимой ударной вязкости.

Другим новым способом производства асбестоцементных листовых изделий является формование ли-

стов из концентрированных суспензий путем их вакуумобезвоживания с олновременной прокаткой и профилированием на технологической линии фирмы «Маньяни». Этот способ и оборудование освоены на воскресенском комбинате «Красный строитель» Достоинством рассматриваемого способа является совмещение процесса формования листа с его профилированием. Он также обеспечивает непрерывность процесса производства и возможность получения листов с профилем переменной толшины, что позволяет обеспечить плотное стыкование листов в кровельном покрытии. Вместе с тем способ, предусмотренный в линии «Маньяни», ограничен производством только листовых изделий, хотя в принципе может быть использован и для получения изделий различного профиля. Как показал опыт эксплуатации линии «Маньяни», она требует применения специальных уплотняющих материалов и смазок, производительность линии ниже произволительности освоенных промышленностью круглосеточных машин СМ-942 и СМ-943, а физико-механические показатели листов, полученные на линии «Маньяни», также уступают показателям листов, изготовляемых на круглосеточных машинах.

В последние годы разработаны и осуществлены другие мовые способы производства листовых изделий, а также изделий более сложной конфигурации [54, 55, 92, 93, 94]. Одним из таких способов наляется методакуум-фильтрации и упругого уплотнения. Сущность способа состоит в том, что асбестоцементный слой образуется в результате вакуум-фильтрации асбестоцементной суспензии, а затем подвергается гидростатическому иругому уплотнению. Этот способ осуществлен на Белгородском комбинате асбестоцементных изделяй для производства коровствымой честиных так изделяй для производства коровствымой честиных так изделяй для производства коровствымой честиных так изделяй на производства коровствымой честиных так изделяй на производства коровствымой честиных так изделяй на призводства коровствымой честиных так изделяющим пределяющим пре

тосканской плитки.

Наконец, следует остановиться на производстве асбестоцементных изделий способом инжекции. Он представляет сосбый интерес, поскольку его применение позволяет получить изделия сложной конфигурации, которые другими методами получить практически невозможно (коньковые детали, фасонные детали к трубам, раструбные трубы и др.). Инжекционный способ разработан итальянской фирмой «Јзрга», и принцип его состоит в том, что асбестоцементную суспенанию под давлением нагнетают в камеру, представляющую собой

форму изделия и ограниченную с одной стороны сеткой для отвола волы, а с другой — резиновой полушкой, в которой затем при давлении до 8 МПа производится прессование излелия. Использование способа инжекции позволяет существенно расширить ассортимент излелий. выпускаемых асбестопементной промышленностью. Олнако имеются и некоторые недостатки этого метода. К ним, в частности, относится необходимость весьма тщательного ухода за сетками, которые могут сравнительно быстро забиваться и вызывать тем самым простои оборудования.

Как видно из приведенного обзора, каждый из рассмотренных способов производства асбестоцементных изделий имеет свои лостоинства и нелостатки и не может считаться универсальным. Их объективная оценка должна позволить использовать каждый из них наиболее целесообразно. Таким образом, за исключением способа инжекции, все рассмотренные новые технологические способы позволяют получать, как правило, только листовые изделия, а принципиально новых вилов изделий изготовлять нельзя

2. ЭКСТРУЗИОННЫЙ СПОСОБ ФОРМОВАНИЯ В ТЕХНОЛОГИИ ПРОИЗВОДСТВА РАЗЛИЧНЫХ МАТЕРИАЛОВ И ИЗДЕЛИЙ

В последние годы в производстве асбестоцементных изделий стали уделять внимание способу экструзии.

Известно, что экструзия широко применяется в ряде областей производства строительных и других материалов. В течение многих лет она применяется для изготовления изделий из керамики, пластмасс и древесного волокна

Экструзионную технологию в последнее время стали использовать для получения изделий из метадла. Делаются попытки получения способом экструзии бетон-

ных и железобетонных излелий.

Экструзионное оборудование применяется также для получения брикетов из торфа, угля и других материалов. Способ экструзии, или, как его также называют, способ выдавливания, имеет ряд достоинств. Среди них следует отметить непрерывность процесса производства, возможность получения изделий различной, в том числе весьма сложной конфигурации и с достаточно точными размерами, высокую произволительность формовочного оборудования. Наиболее глубоко процесс экструзии изучен и хорошо освоен в производстве изделий из керамики и пластмасс (82, 83, 57, 77, 45, 18, 46, 67, 86]. Этот опыт в полной мере должен быть использован и при разработке экструзионного способа производства асбестоцементных изделий.

Ряд работ посвящен процессам экструзии древесноволокнистых масс [63, 64] и экструзии металлов [15,

37].

Для получения изделий из бетона способом эксгрузни было создано различное экспериментальное оборудование и выполнен ряд исследований [60, 68, 72]. Однако проблема получения экструзионного бетона оказалась весьма сложной и пока не привела к его широкому промышленному освоению.

Применительно к асбестоцементу способ экструзии

позволяет:

расширить ассортимент асбестоцементных изделий за счет изделий сложной конфигурации (типа пустотных панелей, плит и др.);

изготовлять изделия значительной длины, которая лимитируется только конструкцией приемных устройств и удобствами транспортирования и их применения;

осуществлять непрерывный технологический процесс, что определяет высокую производительность формовочного оборудования;

механизировать и автоматизировать в значительной степени процесс производства;

использовать в качестве вяжущего наряду с поргландцементом цементы с добавками, а также различные ускорители твердения, пластификаторы и другие вещества, придающие специфические свойства готовым изделиям:

наряду с асбестом использовать другие армирующие цементный камень волокна, в том числе искусственные минеральные и органические волокна.

3. РАЗВИТИЕ ЭКСТРУЗИОННОГО СПОСОБА ФОРМОВАНИЯ АСБЕСТОЦЕМЕНТНЫХ ИЗДЕЛИЯ В СССР И ЗА РУБЕЖОМ

Сведения о попытках использовать экструзионный принцип формования для получения асбестоцементных изделий относится еще к 1939 г. [95].

В 1944 и 1946 гг. в США были выданы патенты на устройство для экструдирования асбестоцементных труб

[96, 97]. Оба эти патента предлагают конструкции дорнов шнековых прессов, применение которых должно облегчить процесс экструзии асбестопемента.

Использование для формования асбестоцементных труб ленточных прессов предусматривалось патентом, выданным в Англии в 1947 г. 1981. Согласно этому патенту в асбестонементную смесь предлагается вводить от 0.01 до 0.05% пластификатора к массе цемента. В качестве пластификаторов рекомендовалось использовать гилрофобные масла нефтяного и каменноугольного происхождения, а также смолу хвойного дерева. По данным патента эти добавки повышают у готовых изделий прочность на изгиб, а также снижают пористость труб. Указанные добавки могут вводиться методом пульверизации непосредственно на асбестоцементную массу либо в порошкообразном виде к цементу во время помола последнего или же в растворе акустической соды в воду, идущую для затворения.

Примерный состав смеси: цемента 169 кг. асбеста 50 кг, кремнезема 150, пластификатора 0,34—0,68 кг. Патентом США 1948 г. предлагается изготовление асбестоцементных труб нагнетанием асбестоцементной массы в перфорированную форму, в которой образуется изделие заданных форм и размеров. При таком способе изготовления хотя и используется соответствующее формовочное оборудование, однако его нельзя причислить к экструзии, поскольку он не обеспечивает непрерывного процесса производства [991.

Несмотря на наличие ряда патентов до 60-х годов не было сделано сколь-нибудь серьезных попыток организовать изготовление асбестоцементных изделий способом экструзии. В 1965 г. в СССР было выдано авторское свидетель-

ство на способ (заявлен в 1962 г.) изготовления асбестоцементных труб способом экструзии в установке

непрерывного действия [24].

Особенностью этого способа является то, что в процессе формования труб асбестоцементная масса вергается вращению, чем обеспечивается ориентация асбеста, способствующая повышению качества готовых излелий.

Значительный шаг в создании экструзионной технологии производства асбестоцементных изделий был сделан после получения фирмой «Iohns-Manville» в 1965 г.

патента на создание асбестоцементных композиций, предназначенных для получения изделий способом экструзии. Этот способ был запатентован в Англии, Австралии и некоторых других странах [100, 101, 102].

На этом патенте спедует остановиться более подробно. Основной особенностью метода, изложенного в патенте фирмы «Johns—Manville», является использование для улучшения процесса формования специальных химических добавок, названиных гидромодификаторами. Роль гидромодификаторов состоит, с одной стороны, в придании абестоцементным смесям повышенной пластичности. С другой стороны, их использование предотвращает водооталеление при уплотнении асбестоцемента значительное количество води. В результате использования гидромодификаторов можно получать асбестоцемент с плотностью и прочностью в широком диапазоне.

В качестве гидромодификаторов рекомендуется целый ряд веществ, среди которых метилцеллюлоза, гидроксил-пропоксил-метилцеллюлоза, полиоксиятилен, карбоксил-метил-гидромсил-этилцеллюлоза, эфиргидроксилэтилцеллюлоза и др.

Составы, предназначенные для экструзии, рекомендуются патентом в весьма широком диапазоне (%):

цемент		٠.									10-85
вода.											14-50
гидромо											0,05—10 3—60
асбестов вспомог:											300
(кварце											055
другие в											
ные ком					JIE	чес	КИ	м	ВЯ	-	0-55
жущим				٠							055

По сведениям, приведенным в патенте, асбестоцемент, полученный способом экструзии, имел следующие физико-механические показатели (средние):

физико-механические показатели (средние): предел прочности при изгибе — 283·10⁵ Па;

объемная масса — 1600 кг/м³.

Эти данные быля получены при испытании образиовплиток длиной 20 см, изготовленных на поршневом прессе при использовании в качестве модификатора гидроксил-пропоксил-метилцеллолозы и при следующем составе асбестоцемента (в % по массе): портландцемент — 50, асбест — 20 (качество асбеста не указано); кварцевый песок — 30.

Влажность массы, подвергнутой экструзии, составля-

ла 25%.

После прессования образцы сутки выдерживали во влажной камере, а затем в течение 16 ч подвергали твердению в автоклаве при давлении пара 7·10⁵ Па.

Патентом США, опубликованным в 1665 г. и запатентованным во Франции, предлагается способ обработки асбестового волокиа [103] гидромодификаторами. Пригоговление формовочной композиции предусмотрено на основе асбестового волокиа, пропитанного гидромодификатором, равномерно распределенным по том, что гидромодификатором поизляют асбестовые волокиа, находящиеся во взвешенном состоянии (в воздушном потоке).

Следует подчеркнуть, что в СССР еще в 1950 г. выдано авторское свидетельство на способ и устройство для изготовления теплоизоляционных волокинстых материалов, особенностью которого является смешивание волокон со смолами в момент нахождения их во взвешенном состоянии [33]. Способ, изложенный в американском патенте 3271186, не отличается принципиально от способа, предложенного в СССР.

В ФРГ в 1965 г. предложен способ получения асбестоисментных изделий в поршиевых пресах путем уплотиения предварительно изготовленного полуфабриката в виде блоков. В предложении отмечается, что для получения изделий используются смеси из волокинстых и связующих материалов с иняким содержанием воды, подвернутой при первичной обработке деазрации и пластифицированию под вакуумом. Для повышения формуемости смесей применяются пластификаторы, представляющие собой металлические мыла или алкоголи либо их сульфокислоты [1041].

В последующем появились патенты, в которых предлагается целый ряд веществ, вводимых в асбестоцемент для его пластификации. Так, например, английский патент [105] предусматривает использование в качестве пластификаторов нерастворимые соединения, сопержащие от 14 ло 20 атомов углерода, в составе которых имеются жирные кислоты, ангидриды, амиды и эфиры живных кислот и др. Пластификатор побавляется к другим компонентам в количестве от 0.1 до 5% к массе

сухих составляющих.

В качестве примера приводится асбестопементная смесь, состоящая из 40 кг канадского асбеста 7-го сорта, 142 кг портландиемента и 2 кг оленна, включающего по массе 74% оленновой кислоты. Сухую смесь переменивают в течение 5 мин, а затем э нее вводят 64 кг воды. Из полученной таким образом асбестопементной массы на шнековом экструдере были получены трубы с разрывном давлением 160·105 Па с водопоглощением 16.5%.

По мнению английских специалистов экструзионному способу производства асбестоцементных изделий принадлежит большое будущее в строительной индустрии

[87].

В последние годы появился еще ряд патентов на со-

ставы смесей, предназначенные для экструзии.

Так, патентом Австрин [106] предлагаются смеси, в составе которых наряду с асбестом, цементом и тонкомолотым песком используются в значительных количествах эпоксидные и полиэфирпые смолы. Полученных на основании этих составов изделия твердеют в автоклавах. Один из рекомендованных составов приведен в табл. 1.

Таблица 1. Состав асбопластического материала для экструзии

Дидромкрезигмецидилэфир	Состав	Масса частей	%
Метилгидроксилпропилцеллюлоза	Тонкомолотый песок Асбест Жидкая эпоксидная смола Тризтилентетрамин Дидромкрезнгиецидилэфир Метил гидроксилиропилцеллолоза	80 5 15 2,1 3	36,2

Как видно из данных таблицы, содержание асбеста в смеси весьма невелико, и, строго говоря, этот состав не может быть отнесен к асбестоцементу, учитывая тем более значительное содержание в нем эпоксидной или полиэфирной смоль. Имеются некоторые данные о качестве используемого асбеста при изготовлении асбестоцементных наделий способом экструзии. В проспекте компания «Iohns—Manville» [112] отмечается, что для асбестоцементных панелей, изготовляемых способом экструзив, используется синтетическое кальциево-алюмосиликатное вяжущее, армированное отборным асбестовым волокном.

Вместе с тем имеются сведения о том, что при натоповлении экструзионного асбестощемента применяется и инзкосортный асбест [91]. Однако в этом случае количество используемого асбеста достигает 50—60 ч. по масссен а 100 ч., по массе цемента.

Патентами США [108, 109] регламентируется соб увлажнения асбестоцементных смесей при их готовке. По одному из них асбест и цемент перемещивают в сухом виде в бегунах, затем лобавляют волу в течение 60 с. после чего перемешивание пролоджается еще ло 60 с. В этом же патенте указывается, что в смеси солержится от 13 ло 48 частей асбеста по массе на 100 частей цемента по массе. По второму способу волу рекомендуется добавлять в два этапа. Первоначально вводят 60-95% воды от ее общего количества, и смесь интенсивно перемешивают в течение 2 мин, после чего добавляют остальную воду и смесь перемешивают еще не более 20 с. При этом асбестоцементная масса приготовляется в бегунах. Предлагаемые патентами составы асбестоцементных смесей для экструзии, как правило, солержат тонкомолотый кварцевый песок, что предполагает автоклавное твердение получаемых изделий. Однако в некоторых из них указывается и о возможности получения изделий только на портландцементе. Для ускорения предварительного твердения бестоцементных труб, выходящих из экструдера, патентом США [110] предлагается обрабатывать их углекислым газом. Патентом США [111] предусматривается ввеление в состав асбестоцементной массы, предназначенной для экструзии некоторого количества растительного (древесного) волокна. Оно используется для прелотвращения возможного растрескивания излелий, которые подвергаются значительному нагреву в процессе экструзии.

Как видно из приведенного обзора, способу экструзин в производстве асбестоцементных изделий начинают уделять серьезное винмание, считая его достаточно перспективным. В нашей стране способ экструзии начал разрабатываться примерио в то же время, что иза ру-

бежом, а публикации о нем появились только в последние годы. Вместе с тем как в патентных, так и в рекламных зарубежных материалах отсутствуют свеления. необходимые для создания научно-технических основ экструзионной технологии и соответствующего оборудования для нее. Все это лишало возможности использовать зарубежный опыт и потребовало опециальных исследований. При их осуществлении наиболее целесообразно базироваться, с одной стороны, на опыте керамической промышленности по экструзии глиняных лисперсных масс и с другой — на результатах поисковых работ. Поисковые экспериментальные работы осуществлялись на лабораторной установке, в основе которой был использован пресс М-2 (ГОСТ 7411-55) модель 764 с диаметром шнека 70 мм и числом оборотов шнекового вала 30 в минуту. Установленная мощность 2.8 кВт. На этой установке получены изделия с наружным диаметром ло 65 мм.

Для обеспечения процесса экструзии пресс был оснашен мундштуком специальной конструкции для получения трубы с внутренним диаметром 50 мм и толщиной стенки 5—7 мм. Трубы изготовляли на асбесте М-60-30 сухой распушки (степень распушки 25%). Асбестоцементная масса содержала 15% асбеста и 85% цемента марки 400 Воскресенского цемезного завода. Влажность массы составляла 20—25%. Асбестоцементную смесь притотовляли следующим образом. Асбест смещивали всухую с цементом, а затем смесь увлажняли заданным количеством воды и снова перемещивали до получения однородной массы.

Готовую асбестоцементную смесь загружали в рабогающий пресс по возможности равномерню. По выходе из пресса изделия твердели в естественных условиях в течение 16—18 ч, а затем пропаривались в течение 4— 5 ч при температуре 60—80°С. После пропаривания трубы до испытания хранили в воде, потом их разрезали на образыц длиной от 10 до 30 см, которые испытанвали на раздавливание и на водонепроницаемость под действием внутреннего глдравлического давления.

Испытания показали, что на асбесте 6-го сорта были получены трубы с разрывным давлением до 1,1 МПа, пределом прочности при разрыве до 44·10⁵ Па и пределом прочности при разлавливании до 315·10⁵ Па. Объ-

емная масса образцов достигала 2000 кг/м³, а водопоглощение составило 8.6%.

Анализ полученных данных показал принципиальную возможность экструдирования асбестоцементных смесей и получения изделий с качественными показателями, соответствующими требованиям, предъявляемым к таким трубам, как керамические, бетонные и железобетонные. Следует вместе с тем подчеркнуть, что полученные изделия изготовляли на низкосортном асбесте и без использования пластификаторов.

Для установления принципиальной возможности получения способом экструзии изделий сложной конфигурации были осуществлены экспериментальные работы на ленточном прессе JBП1-6 с диаметром шнека 300 мон поытного завода НИИСтройкерамики. Несмотря на то, что использованный пресс не был приспособлен для получения изделяний из асбестопиемента, а подготовка сырьевых асбестоцементных смесей производилась на примитивном оборудовании, тем не менее были получены изделия в виде коробов, а также двух-и трехпустотных блоков, възвлюнихся прооблазом булушки панелей.

Полученные результаты послужили основанием для послужения и расширения исследований по созданию экструзионной технологии асбестоцемента. Вместе с тем приобретенный опыт показал, что для экструдирования асбестоцемента необходимо создание специального технологического оборудования, которое в свою очередь требует знания ряда специфических свойств асбестоцементных смесей, предлазначенных для экструзии.

ГЛАВ'А П

A 40 10

ФИЗИКО-ТЕХНИЧЕСКИЕ СВОЙСТВА АСБЕСТОЦЕМЕНТА, ПОЛУЧЕННОГО МЕТОДОМ ЭКСТРУЗИИ

I. НОМЕНКЛАТУРА АСБЕСТОЦЕМЕНТНЫХ ИЗДЕЛИЙ, ПОЛУЧАЕМЫХ СПОСОБОМ ЭКСТРУЗИИ, И ОБЛАСТИ ИХ ПРИМЕНЕНИЯ

Как отмечалось выше, экструзнонная технология позволяет получать асбестоцементные изделия довольно широкой номенклатуры и сложной конфигурации.

Некоторые образцы таких изделий, полученных авторами, представлены на рис. 1. Помимо них на экспери-

ментальных установках освоено изготовление асбестоцементных изделий типа швеллеров, предназначенных для сборки асбестоцементных панелей (рис. 2, 3). Асбестоцементные панели размером 3/21,5 м, собранные из



Рис. 1. Образцы асбестоцементных изделий, полученных способом экструзии

обычных асбестоцементных листов и четырех экструэнонных швеланеров (высота швеллера 13 см), выдержали при испытании на равномерно распределенную нагрузку более 7500 Н/м² при нормативной нагрузке 4000 Н/м² (панели испытывали на пролете 3 м).

В ряде зарубежных стран, как можно судить по проспектным и рекламным материалам, начато изготовление экструаюнного асбестощемета широкой номенклатуры. Американская фирма «Iohns-Manville» сообщает об освоении производства нескольких типов асбестощементных изделий способом экструани. Условно этот процесс назван А. С. Е. (Asbestos Cement Extrusion [112, 113, 114].

Изделия изготовляют в основном двух типов.

Первый тип изделий представляет многопустотные панели шириной до 60 см и длиной до 4,5 м. Толщина таких панелей колеблется от 38 до 120 мм.

Панели шириной 60 см имеют 7 прямоугольных отверстий, толщина стенок составляет примерно 8—10 мм.

Государственная публичная библиотена им. В.Г. Белинского г. Свердловск 17



Рис. 2. Асбестоцементные швеллеры, полученные способом эксгрузин

Рис. 3. Асбестоцементная панель, собранная на экструзнонных швеллерах

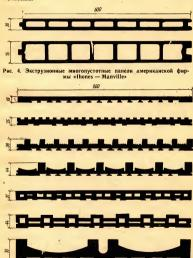


На рис. 4 представлены сечения некоторых типов таких панелей. Они предназначаются в качестве ограждающих навесных панелей, панелей перекрытий и др. Панели этого типа на ториах имеют выступы и пазы для крепления их между собой встых.

18

работаны методы крепления таких панелей и плит для различных условий применения.

По лицензии, приобретенной у американской фирмы «Iohns-Manville» экструзионные изделия начали изготовлять в некоторых европейских странах, а также в Японии.



Рнс. 5. Типы экструзионных плит для отделки фасадов зданий и сооружений фирмы «Ihones — Manville»

Европейская фирма «Eternit» рекламирует производство повых асбестопементных изделий типа А. С. Е., изтотовляемых опособом экструзия [115]. Наряду с многопустотными панелями, анологичными тем, которые приводятся в американских патентах, сообщается об изготовлении изделий, предназначенных в качестве подоконных досох, отделки карнизов и других деталей жровельных покрытий.

Некоторые типы таких изделий представлены на рис. 6.

По сообщению швейцарских источников английская фирма «The Universal Asbestos Manufacturing Co Ltd» [116, 119] изготовляет из экструзионного асбестоцемента стеновые панели, подоконники, фасадные облицовочные

плиты и др.
Японская фирма «Nadsavi» изготовляет экструзионные асбестоцементные панели различной формы и толщины, которые также по размерам близки к изделиям,

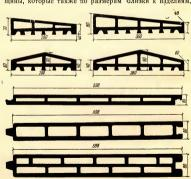


Рис. 6. Изделия фирмы «Eternit», полученные методом экструзии. Размеры даны в мм

изготовляемым фирмой «Iohns — Manville». Они предназначаются для применения в качестве облицовки наружных и внутренних стен, для кровельных покрытий и междуэтажных перекрытий и др. [117].

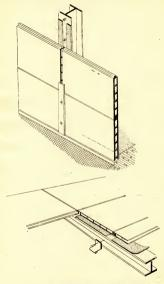


Рис. 7. Схема применения экструзионных панелей

Некоторые примеры применения многопустотных асбестопементных экструзионных панелей, заимствованные из зарубежных патентов, представлены на рис. 7. Имеющиеся сведения не дают достаточного представления об объемах производства экструзионного асбестоцемента и масштабах его применения в настоящее время. Можно предположить, что они пока сравнительно невелики. Вместе с тем повсеместный интерес к новому способу производства и его возможности дают основание полагать, что в предстоящие годы экструзнонная технология производства асбестоцементных изделий получит значительное развитие.

2. ФИЗИКО-ТЕХНИЧЕСКИЕ СВОИСТВА ИЗДЕЛИИ, ПОЛУЧАЕМЫХ СПОСОБОМ ЭКСТРУЗИИ

Фізико-гемнические показатели экструзионного асбестощемента и изделий из него, приводимые в зарубежных источниках, весьма различны и колеблются в значительных пределах. Связано это, видимо, с особенностими технологии и методами меспьтания изделий и материала. В американском патенте приводятся данные о прочностных свойствах изделий, получаемых из экструзионного асбестоцемента [100]. Трекпустотные блоки с кругилми отверстнями ширилой 300 ми в высотой 106 мм (диаметр каждого отверстия 87 мм) имели предел проччается возможность получения изделий с плотностью от гото до 1850 кг/м³. В проспектах американской компании «lohns — Manville» [113, 114] приводятся физикопустотных панелей, изготовленных способом экструзия, профали которых приведены на рис. 4 и 5 (таба. 2).

В проспекте фирмы «The Universal Asbestos Manufacturing Co Ltd» приводятся сведения о физико-механических показателях асбестоцементных изделий, полу-

чаемых способом экструзии [116].

Панели, предназначенные для облицовки фасадов зданий типа А. С. Е. и представляющие собой сплошной вифленый лист, имеют предел прочности при изгибе 120—130-10° Па. Плоские листы, изготовляемые экструзией и предназначенные для внутренней и наружной облицовки, имеют предел прочности при изгибе от 140 до

Таблица 2. Физико-техинческие показатели
асбестоцементику экструзионных облицовочных плит
и многопустотных плиедей фирмы «lohns—Manville»

		облицовочи: щимой в мм	Миогопустотная панель толщийой в мм		
Показатели	19	25	. 38	38	75
Предел прочвости при изгибе в Па Предел прочвости при растяжении в Па Момент сопротивления в м ³ Допускаемый пролет в м кг/м ³ масса в кг/м ³ масса в кг/м ³ равио-	176 · 10 ⁸ 85 · 10 ⁸ 43 · 10 ⁻⁶ 1,5 1600	211·10* 85·10* 59·10 ^{—6} 1,8 1600	211 · 10* 85 · 10* 156 · 10 ⁻⁶ 3 1600	141 · 10* 85 · 10* 253 · 10 ⁻⁶ 3,3 1600	141 · 10* 85 · 10* 640 · 10 ⁶ 4,5 1600
мерио распределен- ная нагрузка в Н/м ²	2900	3500	4100	4400	6100

180·10⁵ Па, а плотность 1650—1680 кг/м³; толщина их от 18 до 50 мм.

Кровельные панели (плиты) марки А. С. Е. изготовымот в виде пустотелых элементов общей толщиной 50 и 80 мм и шириной 600 мм. Физико-механические показатели и несущая слособность панелей по данным фирмы приведены в табл. 3.

Таблица 3. Характеристика панелей, изготавливаемых способом экструзии по даними проспекта фирмы «Universal Asbestos Manufacturing Co Ltd»

Показатель	Панель толщиной 50 мм	Панель толщиной 80 мм
Момент сопротнвлення в м³	200 · 10 ⁻⁶ 123 · 10 ⁵	357·10 ⁻⁶ 123·10 ⁵
300 см	60 3000	140 5800
Прогнб	1/462	1/790

Из материалов, опубликованных в ГДР [88], видно, что асбестоцементные панели типа А. С. Е., изготавливаемые способом экструзии, имеют свойства, приведенные в табл. 4.

Габлица 4. Свойства асбестоцементных панелей, нзготавливаемых способом экструзни (по данным, опубликованным в ГДР)

Похазатели	Параллельно изправлению экструзии	Перпеидику- лярио иаправлению экструзии
Предел прочности при изгибе в Па Предел прочности при сжатии в Па . Предел прочности при растяжении в Па Ударная вязкость в Дж/м²	262 · 10 ⁵ 469 · 10 ⁵ 92 · 10 ⁵ 1 , 41 · 10 ³	203·10 ⁵ 735·10 ⁵ 68·10 ⁵ 0,88·10 ³

По данным английских источников [87], экструзионный асбестоцемент имеет характеристики, приведенные в табл. 5.

Таблица 5. Свойства экструзионного асбестоцемента (по английским данным)

Свойства	Материал сред	цией плотиости
Плотность в кг/м ³ Предел прочности при назибе в Па Предел прочности при растяжении в Па Предел прочности при сжатии в Па Водопоглощение (за 48 и) в % Расширение при водонасыщении в %	1200 75·10 ⁵ 30·10 ⁵ 375·10 ⁸ 50 0,3	1700 225 · 10 ⁵ 60 · 10 ⁵ 750 · 10 ⁵ 18 .0 , 2

Фирма «Eternit», образцы изделий которой представпомень на рис. 6 [115], в своем проспекте сообщает, что экструзнонные многопустотные панелы в зависимости от типа изделия и пролега, на который они укладываются, способны выдерживать равномерно распределенную изгрузку, приведенную в табл. 6.

Объемная масса таких панелей 1700—1800 кг/м³. Для повышения теплозащитных свойств в панели иногда укладывают плитный утеплитель.

Образец японского экструзионного асбестоиемента, испытанный в НИИАсбестцементе, показал предел прочности при нятибе около 200-10⁵ Па, ударпую прочность около 2-10⁵ Дж/м² н объемпую массу 1800 кг/м² (испытывался образец размером 50×20×7,5 мм). По данным рентгеноструктурного анализа, в нем оказалось примерно 11% высокосортного асбеста и значительное количество искусственных органических волокон типа капоона.

Таблица 6. Разрушающая равномерно распределенная нагрузка для экструзнонных панелей фирмы «Eternit»

Про-	Разрушан	Разрушающая равномерно распределенная нагрузка, $H/м^2$, панелей толщиной							
лет в м	35 мм	60 MM	80 MM						
0,5	_	250 000	460 000						
1	-	75 000	125 000						
1,5	11 000	33 000	50 000						
2	_	16 000	29 000						
3	_	7 500	10 000						
4		3 750	5 100						
4 5 6		2 300	3 300						
6	_		1 900						

Следует отметить значительные расхождения в физико-механических показателях экструзновного асбестоцемента, которые содержатся в различных источниках, что не позволяет получить достаточно полного представления о фактических свойствах экструзнонного асбестоцемента.

ГЛАВА ІІІ

КОНСТРУКЦИИ ЭКСТРУДЕРОВ И ПРОЦЕСС ФОРМОВАНИЯ АСБЕСТОЦЕМЕНТА

1. КОНСТРУКЦИИ ЭКСТРУДЕРОВ

В зарубежной практике для формирования экструзионного асбестоцемента применяют шнековые прессы, аналогичные тем, которые используются в керамической промышленности.

Для изучения технологии получения асбестоцементных изделений способом экструзии в НИИАсбестцементе была скопструирована и изготовлена специальная экспериментальная установка (рис. 8). Она предназначалась также для уточнения некоторых конструктивных параметров прессующих органов, питающих устройств, привода и других конструктивных элементов. Для расчета экспериментального экструдера применяли методы, используемые при конструировании ленточных прессов в керамической промышленности [61].



Рис. 8. Экспериментальная установка для получения асбестоцементных изделий способом экструзни

Размеры экспериментальной установки позволили иззовать на ней асбестоцементные трубы диаметром 50 и 100 мм и толщиной стенок от 3 до 10 мм, т. е. реальные наделия, которые можно использовать на практике.

Данные расчета пресса показали, что на нем могут быть достигнуты нормальные давления, величины которых приведены в табл. 7.

Таблица 7. Расчетные величины нормальных давлений

	Для трубы диаметром в мм			
Расчетная величниа	100	50		
Усилие, развиваемое прессующим вит- ком шнека, в Н: максимальное минимальное Давление прессования в Па: максимальное минимальное	91 000 20 000 56·10 ⁵ 12,3·10 ⁵	135 000 30 800 520 · 10 ⁵ 72 , 6 · 10 ⁵		

Экструзионный пресс включает в себя собственно экструдер и привод, размещенные, кроме эмектродвигателя, на общей сварной раме. Эйектродвигатель привода состоят из корпуса, мундштука, набора вствок, набора рубащех, штинателя и сболього шнека.

Сборная конструкция корпуса обеспечивает выполнение исследований с различными типоразмерами шнеков, рубащек и формующих вставок мундштука. Установка имеет два привода: привод шнека и привод питаноцего валка. Для передачи крутящего момента от редуктора к валу смесителя, шнеку и питающему валку предусмогрен шпиндель, комитированный в корпусе на двух радиальных роликовых подшипниках и двух упорных швануювых подшипниках и двух

Для установки сменных шнеков в шпинделе предусмотрено посладочное конческое отверстие с конускостью 7: 24. Крепленне шнека осуществляется с помощью специального стержия. Крумящий момен от шпинделя к шнекам передается при помощи двужкулачкового торисього соединения. На входгом конце шпинделя имеется кулачковая муфта и шестерия для передаети крутящего

момента к питающему валку.

Предусмотренный проектом набор шнеков обеспечивает проведение опытных работ по формованию труб диаметром 50 и 100 мм.

Шнеки сборные, сварной конструкции, имеют съемную прессующую часть, чем достигается возможность огработки режимов формования путем применения прессующих элементов различного конструктивного исполнения.

Транспортирующие витки шнека приварены к трубчатому стержню, который, в свою очередь, приварен к квостовику.

В отличие от транспортирующей части шнека, имеющей однозаходную винтовую поверхность переменного шага, благодаря чему достигается предварительное уплотнение транспортируемой асбестоцементной массы, прессующая часть шнека выполнена двухзаходной с постоянным шагом. Литые съемые рубашки образуют пость, внутри которой вращается шнек, транспортируется и уплотивется асбестоцементная масса. На внутренней поверхности рубашки меются продольные пазы, препятствующие вращается ному движению массы при ее транствующие вращается ному движению массы при ее транствующие вращается ному движению массы при ее транствующие вращается ному движению массы при ее тран-

спортировании вдоль оси шнека. Мундштуки пресса снабжены сменными вставками для подбора наилучшей формы их рабочей поверхности.

Техническая характеристика экспериментальной установки

Число оборотов шиека в 1 мин	от 21 до 95
Регулирование числа оборотов шиека	осуществляется
	бесступенчатым
	варнантом
	БЦ.51.101-03; К-4,5
Электродвигатель типа А062-4 мощностью	10 кВт
с числом оборотов в 1 мии	1460
Редуктор главного привода РМ-500 IV	IV
Габаритные размеры установки в мм:	
длина	2915
ширина	2205

Как показали предварительные исследования при использовании конструкции формующих устройств, обычно применяемых в керамической промышленности, экструдирование асбестовсементных смесей с низким водотвердым отношением ($\frac{B}{T} = 0.2 - 0.25$) требует больших затрат мощности. Одним из возможных путей снижения расхода электроэнергии при экструзии является применение специальных конструкций формующих рабочих

1190 1730

органов экструзионного пресса. В экструмерах, применяемых в керамике, транспортирующий и уплотизющий элемент — шнек — располагается таким образом, что его последняя (выпорная) лопасть заканчивается до головки пресса. В головке и мундштуке пресса происходит уплотиение массы и еформование путем продавливания, причем степень уплотиения зависит от фрикционных и пластических

свойств используемой смеси.

Масса установки в кг

Учитывая, что асбестоцементные омеси с низким В/Т имеют недостаточную пластичность в экспериментальной установке, за шнеком предусмотрено дополнительное устройство, облегчающее продвижение массы к мундштуку и ее уплотиение.

Наружная поверхность дорна имеет винтовую резьбу различного профиля с постепенно уменьшающейся глу-

биной к концу. Число заходов резьбы по длине дорма постепенно увеличивается [25]. Применение такого конструктивного решения, как показал опыт, позволяет подвергать экструдированию асбестоцементные смеси с влажиюстью до 20—24% без использования пластификаторов.

2. ХАРАКТЕРИСТИКА ИСХОДНЫХ СЫРЬЕВЫХ МАТЕРИАЛОВ

В качестве исходных сырьевых материалов для исследований применялись:

асбест марки П-5-65 Баженовского месторождения, характеристика которого приведена в табл. 8;

Таблица 8. Характеристика асбеста

	Фракционный состав при гидро- классификации					шки	Ситовый состав			
Марка асбеста	(Остатки	иа си	тах в 🤊	6	ь распушки г. ст	Оста	итах	Пыль в	н галь %
	1+4,699	11+1,168	111	IV +0,147	промыя0,147	Степень в мм рт.	=	E	всего	и том числе геля
П-5-65	8,5	13,7	11,2	11,6	55	473	-	78,5	8,4	0,68

2) портландцемент Воскресенского цементного завода марки 400, химико-минералогический состав которого приведен в табл. 9;

в качестве пластифицирующей добавки использовался полиакриламид, соответствующий СТУ 12.0221-64.
 полиакриламид технический со следующей характеристикой: аммониевая форма; сухой остаток — 20,66; содержание полиакриламида — 6.2; содержание аммониевых солей - 69.94.

При переработке пластичных дисперсных масс в экструзионных прессах имеют место одновременно два вида шеформации — сжатия и сдвига. Применительно к глиняным дисперсным массам этот вопрос изучен В. С. Фалеевой [83].

Напряженное состояние массы в формующей части пресса создается за счет работы нагнетания (шнека), в результате чего появляется напряжение P_0 , действую-

Таблица 9. Химический и расчетный минералогический состав

Химический состав											
SIO ₂	Al ₂ O ₃	Fe ₂ O ₅	CaO	MgO	SO _a	п. п. п.	Σ				
19,4	5,3	4,43	61,51	4,11	2,61	0,93	99,13				

щее параллельно оси пресса, и напряжение бокового давления g_0 , направленное нормально к оси пресса. Нормальное давление в основном сжимает и уплотняет массу.

Напряжение бокового давления пропорционально осевым напряжениям

$$g_0 = \xi P_0, \qquad (2)$$

где § — коэффициент пропорциональности принято называть коэффициентом бокового давления (или бокового распора). Коэффициент § зависнт от свойств массы, подвергаемой формованию,

Свойства формуемой массы в условиях деформации можно характеризовать следующими параметрами: коффициентом бокового давления, коэффициентом внутреннего трения, предельным напряжением сдвига P_s и среза S_s коэффициентом трения массы о стенки пресса и.

Для глиняной массы величина наибольших нормальных давлений (g₀) в головке пресса находится в предлах 1,2—12-10⁸ Па в зависимости от пустотности формуемого изделия. Значение коэффициентов внешнего трения (µ) для различных глин колеблется от 0,5 до 0,1 и удовлетворительно ашпроженмируется гиперболой вида

$$\mu = \frac{0.32}{g_B + 0.45} - 0.15. \tag{3}$$

Для определения давлений, возникающих в головке экструзионного пресса (F_{τ}) , предлагается следующая формула:

$$F_{T} = \mu_{CD} g_{\mu C} \omega, \qquad (4)$$

где µ — коэффициент внешнего трення о стенку рассматриваемого звена (мундштука); g_{п.с} — среднее нормальное давление на поверхность трення в Па; w — площадь боковой поверхности звена в см².

			Минералогический состав					
гигро- скопичес- кая влага	иераство- римый остаток	СаОсвоб	CaS	C ₂ S	C _a A	G ₄ AF ·		
0,05	0,62	0,3	55	11	6,5	13,5		

При наклоне стенок звена под углом в:

$$g_{\text{M.c}} = \frac{g_0 \cos \beta + \frac{g_0}{3} \sin \beta}{2} = \frac{g_0}{2} \left(\cos \beta + \frac{1}{\xi} \sin \beta \right). \tag{5}$$

Величина $A = \cos \beta + \frac{1}{\xi} \sin \beta$ названа коэффициентом конусности мундштука.

В. С. Фадеева предлагает следующую формулу для расчета формующих устройств экструдера на основании уравнения савига М. Н. Троицкой:

$$P_{0} = \frac{K P_{s} f S_{0}}{S_{0} - \xi \mu_{en} A \omega} \Pi a, \qquad (6)$$

где K — коэффициент формы, равный отношению площади входа в мундштук S_0 к живому сечению выхода.

Для глиняной массы в результате предварительных испытаний В. С. Фадеевой были получены следующие расчетные характеристики: ξ =0,35; j=0,28; μ ep=0,2; ρ =9:105 Па.

Как видно из приведенных выше данных, разработка технологии и оборудования для экструзионного способа производства асбестощементных изделий требует энания целого комплекса свойств асбестоцементных сырьевых смесей, среди которых важное место занимают их фрикционные харажтеристика.

Не менее существенное значение имеют величины давлений, которые возникают в экструзнонном прессе в процессе формования изделий. Поскольку прочностные характеристики асбестоцемента в значительной мере зависят от ориентации асбеста, была также изучена ориентировка асбеста в трубах, получаемых способом экструзии.

3. ФРИКЦИОННЫЕ СВОЙСТВА АСБЕСТОЦЕМЕНТНЫХ СМЕСЕЙ

По современным представлениям различают внешнее

и внутреннее трение.

Виешнее трение, в зависимости от состояния поверхиструщихся тел, может быть сухое, граничное, жидкостное, полусухое и полужидкостное. Кроме того, различают трение статическое и кинетическое, а также трение скольжения и тоение качения.

По закону Амонтона-Кулона коэффициент трения (µ)

определяется следующим отношением:

$$\mu = \frac{F}{P} \,, \tag{7}$$

где P — нормальная нагрузка; F — сила трения.

Как похазали исследования ряда авторов [1, 11, 12, 19, 38, 48, 81], коэффициент трення пар для каждого вида трения зависит от качества обработки поверхностей, наличия пленок (в том числе и водных), температуры контакта, скорости скольжения, давления, наличия поверхностно-активных веществ и других фактороп поверхностно-активных веществ и других фактороп.

В настоящее время существует несколько взглядов на природу трения. Одни рассматривают трение как сопротявление при подъеме по микронеровностям. Контактирующие тела принимаются как абсолютно жесткие. Другие связывают трение с преодолением сил молекулярного (адгезионного) взаимодействия между телами. В нашей стране это направление развивается школой члена-коррепондента АН СССР Б. В. Дерягина [40], а за рубежом — Ф. П. Боуденом и Д. Тейбором.

При учете молекулярного взаимодействия закон тре-

ния выражается формулой

$$F = \mu P + C, \tag{8}$$

гае С — равнодействующая сил молекулярного взявмодействия. Исследователи третьего направления рассматривают трение как результат деформирования некоторого объема. Так, Г. И. Епифанов рассматривает трение как процесс сдвигообразования в тонких поверхностных слоях трушихся тел.

Широкую известность получила молекулярно-механическая теория трения, основные положения которой были сформулированы в 1946 г. проф. И. В. Крагельским. Согласно этой теории трение обусловлено механическими и молекулярными взаимодействиями. Иследованию внешнего трения дисперсных материалов посвящено сравительно мало работ. Известны работы по исследованию внешнего трения грунтов [19, 38], горных пород, в свитуем состоянии торфов [1, 11, 12]. Т. С. Гура [38] в своих исследованиях отмечает сильное изменение свойств грунтов под влиянием влажности и дваления. Под двалением в грунтах происходит удлотнение как в нормальном, так и в тангенциальном направлении.

Сопротивление грунтов сдвигу (тер, Па) зависит главным образом от давления, гранулометрического состава

и влажности

$$\tau_{\rm cp} = C + P \, \operatorname{tg} \, \beta,$$

где C — сила сцепления между частицами грунта; tg β — угол внутреннего трення; P — давление.

Трение при сдвиге может быть охарактеризовано статическим коэффициентом трения (в момент начала движения) и кинетическим коэффициентом трения (после начала движения).

Коэффициент трения стали µ по суглинкам и глине зависит в большей степени от состояняя грунта, его физико-механических свойств и мало зависит от механических свойств тверпого тела.

Для тонкодисперсных грунтов по исследованию Г. С. Гуры

$$\mu = \frac{\tau_{\rm cp}}{P} , \qquad (10)$$

где $\tau_{\rm ep}$ — удельное сопротивление срезу; μ — коэффициент трення; P — давление.

Коэффициент трения грунтов зависят от влажности. В работе Ю. А. Ветрова [19] показано, что в интервале давлений от 2—6-10⁵ Па при изменении влажности от воздушно-сухого состояния до максимальной молекулярной коэффициент трения грунтов уменьшается в 2—3 раза.

Влажность по-разному влияет на величину козфициента трения: при увеличения влажности коэффициент трения может возрастать, уменьшаться и проходить через экстремум [1,19]. Влияние влажности на величину коэффициента трения авторы объясиятот тем что вода за счет смачивания сближает поверхносттакта. Гарди отмечает, что наибольшее значение коэффициент трения имеет в том случае, когда поверхности разделяются мономолекулярным слоем воды. и с ростом

голщины пленки коэффициент трения уменьшается. Таким образом, присустение воды является сначала причной возрастания коэффициента трения, по, начиная с некоторого значения влажности, вода раздвигает частника почвы, ослабляет связь между ними. В результате сцепление между частипами становится меньше, чем сцепление между почвой и металлом. Груит прилипает к металлу и происходит трение почвы о почву, чем и объясимется снижение коэффициента трения.

А. С. Аморян [1] отмечает подобные зависимости коэффициента трения от влажности и для торфа. При этом зависимость коэффициента трения от давления имеет максимум. Эту зависимость автор тоже объясняет изменением голцины алсобинонного слоя при контакте.

По исследованиям Й. И. Берковича [12] статическое трение торфа удовлетворительно описывается закона Амонтона — Кулона, коэффициент трения при возрастании нагрузки также проходит через максимум. Положение этого максимум аввисит от влажности и при снижении давления смещается в область повышенных влажностей.

Внутренним трением, применительно к твердым телам, считают сопротивление, возникающее при относительном перемещении отдельных частей тела при его

деформировании.

В реальных дисперсных материалах критическое касательное напряжение сдвига $f_{\rm c}$ связано с нормальным напряжением (P) и спеплением между частицами ($C_{\rm c}$) следующей зависимостью:

$$f_{\rm c} = C_0 + \mu_{\rm c} P, \tag{11}$$

где не - коэффициент сопротивления срезу.

Для сыпучих дисперсных материалов $C_0 = 0$ и зависимость имеет вид

$$f_{c} = \mu_{c} R. \tag{12}$$

Сопротивление срезу включает в себя силу внутреннего трения и составляющую структурной прочности, вызванную резким упрочнением дисперсного материала под действием нагрузки;

$$f_0 = R(P) + u_0 P,$$
 (13)

где μ_B — коэффициент внутреннего трения; R — полное структурное сцепление, включающее в себя C_0 .

Коэффициенты трения асбестоцементных смесей изучались К. Н. Николаевым и И. И. Бернеем.

По данным К. Н. Николаева и И. А. Боровкова [58], коэффициенты внутреннего трения асбестоцементных сиссей в зависимости от влажности (16—20%) и площади сечения образца колеблются от 0,704 до 0,829. При этом они снижаются по мере увеличения влажности асбестоцементной смеся.

Коэффициент внешнего трения по чугуну составляет 0.591 при естественной влажности и 0.564 при влаж-

ности 10%.

По данным И. И. Бернея [13], коэффициент внешнего трения асбестоцементных смесей по сталь сставляет 0,21—0,27 для сухой смеси и 0,95—0,98 для смеси с влажностью от 10 до 24%. Эти данные были по-дучены при нормальном давлении от 1 до 5-10§ Па. Такая же величина коэффициента внешнего трения (0,95) получена и при давлении прессования от 50 до 200-10§ Па.

Как видно из приведенных данных, полученные различными авторами значения коэффициентов трения существенно отличаются друг от друга, что, видимо, объясняется различием в использованных методах исследований.

Методика исследования трения асбестоцементных смесей

Исследование трения асбестоцементных смесей производилось на приборах ПТ-1 и РТ-0 (рис. 9)*.

С помощью прибора ПТ-1 изучали влияние нормального давления на велячину статической силы трения асбестопементных смесей. Прибор РТ-0 использовали для определения трения скольжения. Исследовалось влияние на кинетическую силу трения нормального давления, скорости и пути скольжения при различной влажности и содержании асбеста в смесях. Кроме того, с помощью прибора РТ-0 проводилось изучение внутреннего трения асбестопементных смесей. Для приготовления асбестопементных смесей. Иллаозовали асбест П-5-65 и портландиемент марки 400 Воскресенского цементного завова. Удельная поверхность цемента 3500 см²/г.

2º 3ax 358

Приборы разработаны кафедрой физики Калининского политехнического института.



Рис. 9. Приборы для исследования трения асбестоцементных смесей а— прибор ПТ-1: 6— прибор РТ-0



Содержание асбеста в исследованных смесях и влажность смесей приведены ниже.

Содержание а	Содержание асбеста в %						20	25	25	25
Влажность в	%				3	6	10	15	20	25

Таблица 10. Зависимость силы трения и коэффициента статического трения от содержания асбеста и влажности асбестоцементных смесей

		Давлеине	18-10-, Па	Давлеине 9	95,8-10°, Па	Давление 228-105, Па		
Содержа ине асбеста в %	Влажяость	сила трения (f)	коэффициент статического треяня (µ)	сила трения Па (f)	коэффициент статического трения (µ)	сила трения (f)	коэффициент статического трения (µ)	
10	$\begin{array}{c ccccccccccccccccccccccccccccccccccc$		0,355 0,422 0,499 0,472 0,422	$\begin{array}{c} 42,7\cdot10^{5} \\ 41,2\cdot10^{5} \\ 40,5\cdot10^{5} \\ 40,8\cdot10^{5} \\ 36,9\cdot10^{5} \end{array}$	0,446 0,43 0,423 0,426 0,385	143,3·10 ⁵ 131,1·10 ⁵ 126,4·10 ⁵ 126,2·10 ⁵ 114,4·10 ⁶	0,497 0,455 0,439 0,438 0,397	
15	3 10 15 20 30	4,94·10 ⁵ 8,02·10 ⁵ 7,7·10 ⁵ 7,6·10 ⁵ 7,95·10 ⁵	0,274 0,445 0,427 0,427 0,422 0,441	41·10 ⁵ 35,4·10 ⁵ 41,1·10 ⁵ 40,6·10 ⁵ 40,2·10 ⁵	0,428 0,369 0,429 0,424 0,419	141,5.10 ⁵ 122,6.10 ⁵ 127.10 ⁵ 122,5.10 ⁵ 127,9.10 ⁵	0,491 0,426 0,441 0,425 0,444	
25	3 10 15 20 30	4,1·10 ⁵ 7,1·10 ⁵ 7,2·10 ⁵ 7,9·10 ⁵ 7,1·10 ⁶	0,228 0,394 0,4 0,438 0,394	37,4·10 ⁵ 39,2·10 ⁶ 38,2·10 ⁸ 38,2·10 ⁵ 38·10 ⁵	0,390 0,409 0,4 0,4 0,397	143,8·10 ⁵ 123,7·10 ⁵ 121,6·10 ⁵ 119,1·10 ⁵ 119,7·10 ⁵	0,513 0,43 0,422 0,414 0,416	

Смеси приготовляли путем предварительного перемешивания компонентов вручную, а затем в лопастном смесителе. Эксперименты по определению фрикционных характеристик начинались спустя 5 мин после приготовления смесей.

Нормальное давление в процессе опытов поддерживалось постоянным. Каждый опыт повторялся 3—5 раз. На приборе ПТ-1 давления задавались в следующей последовательности: 20, 50, 100, 200 и 300 · 10⁵ Па, а на приборе РТ-0: 10, 20, 30, 50 и 60 · 10⁵ Па.

При исследовании влияния скорости скольжения на процесс трения задавались следующие скорости: 1, 10, 50 и 100 мм/с. Измерение кинетической силы трения и сопротивления образцов асбестоцементных смесей сдвигу осуществлялось с применением электротензометрирования.

Результаты исследования статической сиды трения асбестопементных смесей в зависимости от нагрузки. влажности и процентного содержания асбеста в асбестоцементной смеси показывают (табл. 10), что статическое трение асбестоцементных смесей полчиняется формуле Амонтона — Кулона [7] (рис. 10).

Зависимость коэффициента статического трения от влажности, при различных давлениях, для асбестоце-

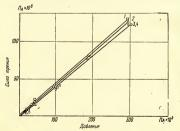


Рис. 10. Зависимость силы трения от давления Влажность 1 - 6%: 2 - 3%: 3 - 10%: 4 - 15%

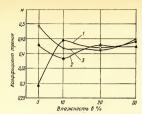


Рис. 11. Зависимость коэффициента статического трения от влажности асбестоцементной смеси $I-P=18\cdot10^9$ Па; $2-P=95.8\cdot10^9$ Па; $3-P=228\cdot10^9$ Па

Таблица 11. Кинетическое тренне $\left(\frac{f}{\mu}\right)$ для асбестоцементных

CACCCH													
Содержа-				Давление в	Па								
ние асбеста в смеси в %	Влаж- ность в %	10,8-10*	20,8 - 101	30,8 - 104	50,8 - 10*	60,8 - 10*							
100	3	5,72	11,8	20,4	32 0,63	38,2							
25	15	6,2	11,9	0-	28,3	33							
15	3	7,15	12,7	21,2	35 0,688	38,2							
15	10	7,86	15,8	- 1	34 0,669	41,6							
15	15	6;75 0,623	13,8	-	32,8	38,8							
15	20	4,89 0,451	0,575,	-	0,688	37,6							
10	15	0,499	11,8	-	0,594	0,63							

ментной смеси с содержанием асбеста 15% приведена на рис. 11. Из нее видно, что увеличение влажности от 3 до 30% незначительно сказывается на увеличении коэффициента статического трения. Влияние количества асбеста на коэффициент статического трения показано на рис. 12.

Результаты изучения величин кинетической силы трения от лавления, влажности и содержания асбеста в асбестоцементной смеси представлены в табл. 11 и на

рис. 13. Из приведенных данных видно, что как и для статического трения, зависимость силы трения от давления при изменении содержания влаги и асбеста исследованных мая

Col лиапазонах может быть описа-



Рис. 12. Зависимость коэффициента статического трения от содержання асбеста в асбестоцементной массе - Р=18·10⁵ Па; 2 - Р=95,8·10⁶ Па; 3 - Р=228·10⁵ Па

Рис. 13. Зависимость коэффицнентов кинетического трения от влажности асбестоцементной смеси 1 — начальная структурная прочность; коэффициент упрочиения: 3 — коэффициент сданга; 4- коэффициент виутреннего трення

на линейной функцией в соответствии с приведенной выше формулой Амонтона — Кулона.

Зависимость коэффициента кинетического трения от влажности в интервале влажностей 5-10% имеет максимум. Такой же характер носит зависимость коэффициента трения от количества асбеста в смеси. В этом случае он соответствует 15%-ному содержанию асбеста.

Следует отметить, что коэффициенты кинетического трения асбестоцементных смесей существенно выше коэффициентов статического трения (табл. 12). Для давлений 50 · 105 Па они выше в зависимости от влаж-

Таблица 12. Данные сравнительных коэффициентов статического и кинетического трения асбестотоцементной смеси с содержанием асбеста 15%

	Давление в Па											
Влажность в %	20-1	Da .	50 - 104									
виажность в %	^µ статич	¹	^µ статич	12 кинетич								
3 10 15 20	0,274 0,445 0,427 0,422	0,609 0,756 0,661 0,575	0,446 0,464 0,445 0,426	0,688 0,669 0,645 0,618								

ности смеси на 40—50%. На величины коэффициентов трения оказывают влияние как влажность, так и содержание асбеста в асбестоцементной смеси. Однако более существенное влияние влажность оказывает на кинетическое трение. 3

Из приведенных данных видно, что коэффициенты трения (как статический, так и кинетический) возрастают с уведичением давления.

Сопротивление сдвигу и внутреннее трение

Исследование сдвига асбестоцементных смесей, в зависимости от технологических факторов, показывает, что уравнение сдвига может быть записано в следующем виле.

$$f_c = C_0 + k \rho + \mu_n \rho = C_0 + \rho (k - \mu_n) = C_0 + \rho - \mu_c,$$
 (14)

где f_0 — касательное напряжение сдвига; C_0 — структурное сцепление при отсутствии давления; ρ — нормальное напряжение; k — коэффициент структурного сцепления; μ_0 — коэффициент внутрениего тоения.

Экспериментально определенные значения этих коэффициентов при различной влажности смеси, содержашей 15% асбеста, приведены в табл. 13.

Коэффициенты формулы сопротивления сдвигу в зависимости от содержания асбеста в смеси приведены в табл. 14.

Сопоставление результатов определения фрикционных характеристик асбестоцементных смесей с аналогичными данными для глиняных масс показывает, что

Таблица 13. Влияние влажности асбестоцементной смеси на коэффициенты формулы сопротивления сленту при содержания асбеста 15%

Влажность в %	μΒ	k	μ _e	Са, Па
3	0,71	0,13	0,84	0,7·10 ⁵
6	0,71	0,12	0,83	0,4·10 ⁵
10	0,68	0,086	0,77	1,2·10 ⁵
15	0,64	0,086	0,73	1,2·10 ⁵
20	0,62	0,076	0,7	0,7·10 ⁵

Таблица 14. Влияние содержания асбеста в асбестоцементной смеси на коэффициенты формулы сопротивления сдвигу при влажности 15%

Колнчество асбеста в %	μ	k	μ _c	С _{о,} Па
10	0,72	0,076	0,8	$\begin{array}{c} 0,2 \cdot 10^5 \\ 1,2 \cdot 10^5 \\ 1 \cdot 10^5 \\ 3,7 \cdot 10^5 \end{array}$
15	0,66	0,066	0,73	
25	0,64	0,14	0,78	
100*	0,48	0,18	0,66	

^{*} Влажность 3%.

последние обладают значительно меньшим коэффициентом трения.

Так, коэффициенты внешнего трения глин не превышают 0,2—0,3, т.е. в 2—3 раза ниже, чем коэффициенты трения асбестопементных смесей. Из данных, приведенных выше, известно, что при экструзюнном способе фомования в асбестоцементные смеси вводятся пластификаторы для снижения их внутреннего и внешнего коэффициентов трения.

В качестве одного из веществ, способного пластифицировать асбестоцементную массу, опробовался полиакриламид, характеристика которого приведена выше.

Полиакриламид вводился в количестве от 0,05 до 0,75% веса сухой смеси асбеста и цемента. Влиние полнакриламида на кинетическое трение асбестодементной смеси влажностью 25%, содержащей 15% асбеста, представлено в табл. 15.

Анализ полученных данных показывает, что полиакриламид в количестве 0,25% и более оказывает суще-

Таблица 15. Влияние добавки полнакриламида на коэффициент кинетического трения асбестоцементных смесей

	Количество полиакриламида в %									
Давление Р, <u>М Па</u>	0,05	0,1	0,25	0,5	0,75					
. 1	0,64	0,48	0,4	0,32	0,22					

ственное влияние на снижение коэффициента кинетического трения асбестоцементной смеси. Так, при введения полиакриламида в количестве 0,5% коэффициент кинетического трения снижается в два раза, составляя всего 0,3—0,33, что приближается к коэффициенту кинетического трения глияных масс.

Эффект воздействия полиакриламида на коэффициент трения связан, видимо, с его коагулирующим влинием, в результате которого освобождается некоторое количество влаги, играющей роль жилкой смазки в механизме трения твердам, поверхностем,

4. ДАВЛЕНИЕ АСБЕСТОЦЕМЕНТНОЙ МАССЫ В ЭКСТРУДЕРЕ

Свойства изделий, получаемых методом экструзин, в сбетоцементельной степени зависят от усилий уплотнения асбестоцементной массы в экструдерь. Поэтому определение величин давлений является необходимым как для управления свойствами готовых изделий, так и для получения исходных данных для проектирования нового

оборудования.
При измерениях величин давлений асбестощементной массы в цилиндре и головке экструдера были использованы дистанционные тензометрические мембранные датичик давления на 20 и 50-10 Па, которые были вмонтированы в трех сечениях установки (рис. 14). Тензометрические датчики представляют собой чувствительный элемент (мембрану) из стали ЗОХГСА, на которую наклеены две спирали из константановой проволоки (датчики сопротивления). На рис. 15 показана электрическая и монтаживая схемы мембранного датчика давления. При испытаниях датчики давления устанавливали с помощью специально изготовленных патронов. На рис. 16 показана патоно с латчиком. В колопусе шидинала и голоковке эк-

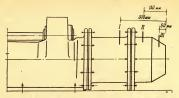


Рис. 14. Схема расположения датчиков для исследования нормальимх давлений в экструдере

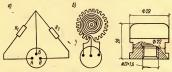


Рис. 15. Конструкция датчика и его электрическая и монтажная схемы а — электрическая схема; 6 — монтажная схема

Рис. 16. Патрон с установленным на нем датчиком

струдера были просверлены отверстия для патрона с датчиком давления. Давление асбестоцементибй массы передавалось на мембрану через специально изготовленный валик.

На рис. 17 приведен общий вид установки с закрепленными датчиками давления и измерительной аппара-

турой.



Рис. 17. Общий вид установки с закреплениыми датчиками давлений и измерительной аппаратурой

При измерениях давлений применяли мостовую скему. Перед испытаниями были снять кривые для каждого датчика давления. Тарировочные кривые представляли гобой зависимость относительной деформации чувствительного элемента (мембраны) от давления. При снятии тарировочной кривой датчик давления устанавливали на пресс, и ступенями создавлась нагрузка на мембрану датчика, при этом измеряли относительные деформации (с) в мембране. Деформации регистрировали с помощью электронного измерителя (ЭЙД). Относительные деформации измеряли с точностью до 1-10-5.

При измерениях давлений в процессе испытаний температура массы нзменялась от компатной до 30—70°С, поэтому использовался способ компенсации температурных погрешностей, заключающийся в том, что в компен-

Таблица 16. Величины нормальных давлений в зависимости от влажности асбестоцементной массы, содержания в ней асбеста и пластифицирующей добавки

- 2%						Ho	рмальное д	давление :	в Па				
асбесто-	в %					ec	держанне	асбеста в	%				
Mac ac	5 a		10		13			17				20	
Влажность цементной	Содержание акриламида	І датчик	П датчик	ІІІ датчяк	І датчик	II датчяк	III датчик	1 датчик	П датчик	III датчик	І датчик	II датчик	III датчик
20	_	8·10 ⁵	34 - 105	17-108	6·10 ⁵	31-105	15 - 105	5 · 108	26 - 105	13-105	4.105	23 - 105	11 - 105
20	0,25	7 · 10 ⁸	30 - 105	14 - 105	5-108	27 - 108	13 - 105	4 - 105	21.105	10 - 105	3.105	17-108	9 - 105
22	-	8-105	26·10 ⁸	12 - 108	5 · 105	24 - 105	10-105	6-105	20 · 105	8-105	4 - 105	17 - 105	7 - 105
22	0,25	5 - 105	22 - 105	10 - 105	3 · 105	18 - 105	7 - 105	4.105	16-105	7·10 ⁵	4 - 105	12 - 105	5 · 105
24	-	6 - 105	23 - 105	10-105	3.105	20.108	10 - 105	3.105	17-105	8 · 10 ⁵	2 · 105	14.105	6.105
24	0,25	2 · 105	17 - 108	6 - 105	1.105	14.105	5 · 10 ⁵	1 - 105	12 - 105	4 • 105	1 - 105	9.105	2 · 105

сационное плечо измерительного моста включается тензодатчик из той же партии, что и активный, но наклеенный на недеформируемую пластину из того же материала, из которого изготовлена мембрана.

В ходе испытаний производились записи деформаций увствительного элемента датчика давления до подачи асбестоцементной массы в цилиндр и головку экструдера (снудевой» отсчет) и при загрузке массой до электронному измерителю (ЭИД) по разинце между величинами рабочего и нудевого отсчетов. С помощью градуировочных графиков оппетеляли давления в экструдера

Величину нормальных давлений в экструдере определяли в зависимости от содержания асбеста в асбестоцементной массе: 10, 13, 17 и 20%; влажности: 20, 22 и 24%; наличия пластифицирующей лобавки — 0.25%,

Результаты измерений приведены в табл. 16 и на рис. 18—21.

Анализ полученных данных показывает, что нормальное давление, развивающееся в экструдере при формовании асбестоцементных смесей, повышается в зоне максимального уплотнения (датчик II) и симжается по вызоде изделия из формущего устройства (датчик III), максимальная величина нормального давления составляет 30—34 -105 Па при содержании 10—13% асбеста в асбестоцементной массе и влажности 20%. Значительное влияние на величину пормального давления оказывает влажность исходной асбестоцементной смеси. Величины нормальных давлений симжаются по мере увеличения содержания асбеста в асбестоцементной массе и для различных значений влажности описываются следующими уравнениям прямых:

при
$$W = 20\%$$
 $P = -1, 1\lambda + 45;$ (15)

при
$$W = 22\%$$
 $P = -0.9 \lambda + 35;$ (16)

при
$$W = 24\%$$
 $P = -0.9 \lambda + 32$, (17)

где λ — содержание асбеста в асбестоцементной массе в %.

Использование пластифицирующей добавки — полиакриламида — в количестве 0,25 % к весу сухих составляющих оказывает заметное влияние на снижение величин иоомальных давлений.

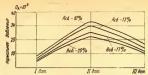


Рис. 18. Изменение нормального давления в корпусе и головке пресся

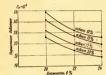


Рис. 19. Влияние влажности исходной смеси на изменение нормального давления



Рнс. 20. Завнсимость нормального давлення от содержания асбеста при различной влажности асбестоцементной смесн

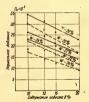


Рис. 21. Влияние 0,25% добавки полиакриламида на изменение нормального давления без добавки полиа-

без добавки полнакриламида; — с добавкой 0,25% полнакриламида

5. ОРИЕНТАЦИЯ ВОЛОКОН АСБЕСТА ПРИ ЭКСТРУДИРОВАНИИ АСБЕСТОПЕМЕНТНОЙ МАССЫ

Преимущественную ориентацию волокон асбеста при экструдировании асбестоцементной массы изучали с помощью рентгенографического метода исследований.

Была принята следующая система координат: ось Y направлена вдоль образующей цилиндра (трубы), ось X— по касательной к окружности и ось Z— по радвусу (рис. 22, a). Развертка цилиндра, разрезанного вдоль образующей, представлена на рис. 22.

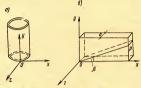


Рис. 22. К исследованию преимущественной ориентации асбеста в образцах труб a— положение координатных ссей отвосительно трубы; δ — развертка трубы

Степень ориентации волокон асбеста характеризуется функцией распределения h (β)[, показывающей отношение весовой части волокон, оси которых расположены под углом к оси OX, весовой доли волокон, оси которых параллельны оси OX (угол β = 0°). В этом случае h (90°) показывает весовую долю волокон, направленных влоль образующей трубы, по отношению к весовой доле волокон, ориентированных по касательной к окружности. Функцию h (β) можно изучать как в поверхностных слоях трубы, так и в слоях, расположенных на различной глубне ее стенок.

Для рентгенографического исследования степени ориентации использовали метод съемки «на просвет». Геометрия съемки в дифрактометре показаны на рис. 23.

Съемки осуществляли на дифрактометре УРС-50И с

приставкой для исследования текстур ГП-2. Использовали отфильтрованное излучение Си. $K_{\rm u}$. Детектором служил сцинтилля пноитил Счетчик СРС-1. Для увеличения облучаемой поверхности образца, с целью усреднения результатов, образец во время съеми совершала возвратно-поступательное движение с амплитудой 6 мм. Величина облучаемой поверхности составяля а 144 мм².



Рис. 23. Геометрия съемки в дифрактометре методом съемки «на просвет»

Расходящийся пучок рентгеновских лучей, непускаемых фокусом рентгеновской трубки F, падает на обравец P (рис. 23). Рассеянные лучи попадают на ечетчик C, установленный под углом 2 θ , соответствующим дифаркинонному пинку хризотиласбеста с кристаллогафическими индексами 200 на излучение $Cu \cdot K_\alpha$; угол 2 $\theta = -12^\alpha 10^\alpha$.

При указанном положении образца в отражении рентгеновских лучей участвуют волокна, направленные вдоль оси ОХ, перпендикулярной плоскости чертежа.

Интенсивность отражения I_0 пропорциональна доли волокон по массе, ориентированных вдоль оси OX, т. с.

касательных к окружности.

Поворачивая образец вокруг оси ОХ на углы в, равные 30, 60 и 90°, определяют интенсивность рентгеновских лучей, рассеянных волокнами, образующими соот-

ветствующие углы в с осью ОХ.

Если обозначить интененвность лучей, рассеминых образцом, повернутым на угол β величиной I_{β} , то функция распределения волокои по направлениям, показывающая степень ориентации волокон, выражается следующим образом:

$$h_{\beta} = \frac{I_{\beta}}{I_0} . \qquad (18)$$

Из-за существенного размытия дифракционного пика 200 приходится измерять его интегральную интенсивность (площадь дифракционного пика). Интервал съемки аналитического пика 200 угла 2 в 10—14°.

Измерение интегральной интейсивности степени ориениции волокон асбеста в образиах осуществлялось с с помощью автоматического приспособления к измерительному устройству ССД, позволяющему получать на цифропечатающей машине суммарную интейсивность пика и фона J_Z в заданном интервале съемки.

Одновременно с целью контроля записывали участок рентгенограммы, содержащий измеряемый пик на само-

писце ЗПП-09.

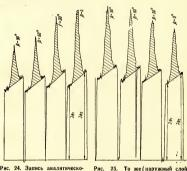


Рис. 24. Запись аналитического пика асбеста 200 при поворотах образца (виутрениий слой трубы)

трубы)

Примеры записи приведены на рис. 24, 25. Интегральную интенсивность пика J_{β} рассчитывали по формуле:

$$J_{\beta} = J_{\Sigma} - \frac{J_{\phi_4} + J_{\phi_2}}{2T} \cdot \frac{2\theta_2 - 2\theta_1}{\eta},$$
 (19)

где η — скорость движения счетчика; T — время измерения интенсивности фона.

При съемке «на просвет» образцы должны быть плоскими и иметь толщину, близкую к оптимальной:

$$t_{\text{ORT}} \approx \frac{1}{\mu \sec \theta}$$
, (20)

где μ — линейный коэффициент ослабления рентгеновских лучей; θ — угол отражения.

Для асбестоцементных материалов на явлучении Сц. - K₄ µ=16⁻¹ онгимальная толщина равна примерно 0,006 см. Однако получить образец такой толщины практически невозможно. Вместе с тем коэффициент ослабления можно существенно уменьшить, если обработать образец в течение 30−60 мин в 10%-ном растворе НСІ. Синжение величины и пооисходит вслествие растворе-

ния вяжущего в соляной кислоте.

Для образцов из экструзионных труб, програвленных в растворе соляной кислоты, отгимальная толщина составила 0,7 мм. Образцы в виде колец с толщиной стенки 0,7—0,8 мм вытачивали из труб на токарном станке. Так как представляет интерес исследование ориентации как во внутренних, так и во внешних слож труб, побразцы-кольда вытачивали таким образом, чтобы представлять и тот и другой слой. После обработки НСІ влажные асбестоцементные образцы после разрезания по образующей легко распрямляются и получаются в виде тонких пласствнок.

В лаборатории физических методов НИИАсбестцемента проводились многократные исследования по определению преимущественной ориентации волокон асбеста в асбестоцементных пленках, взятых с трубных и листоформовочных машин. Так как методика исследования ориентации в экструзионных трубах отличалась от применяемой ранее, то необходимо было сравнить результаты исследования ориентации в пленках и образцах. полученных описанным выше способом. С этой целью из трубы диаметром 100 мм, изготовленной на комбинате «Красный строитель» при обычных технологических параметрах, вытачивали образцы в виде колеп. Их обрабатывали так же, как и образцы из экструзионных труб. Результаты исследования ориентации в асбестоцементной трубе, полученной на круглосеточной машине, представлены на рис. 26 в виде функции ha.

Ориентация асбеста и количественные характеристики близки к тем, которые были получены в работе [42] на образцах в виде пленок, что подтверждает правильность метолики.

Результаты выполненных измерений представлены а рис. 27 в виде графиков функций распределения волоков h_{β} для ряда исследованных образцов труб. Каждая точка кривой h_{β} представляет срединою арифметическую величину при измерении и образцов:

$$h_{\text{cp }\beta} = \frac{\sum_{i=1}^{N} h_{i (\beta)}}{n}$$
 (21)





Рис. 26. Характер ориентации асбеста в трубе, полученной иа круглосеточной трубоформовочной машине

орнентация волокои асбеста в трубе, полученной методом экструзии

1— ориентация по масательной к окружности трубы;
И— ориентация по масательной к окружности трубы;
И— ориентация вдоль образующей трубы

Преимущественная

Для испытанных труб величина n составляла 5—15. В этом случае средняя арифметическая погрешность одного измерения Δh определяется как:

$$\Delta h = \frac{\sum (h_{\rm cp} - h_i)}{n} , \qquad (22)$$

Рис. 27

а погрешность среднего значения из n измерений будет приблизительно в \sqrt{n} раз меньше:

$$\Delta h_{\rm cp} = \frac{\Delta h}{V n}.$$
 (23)

Величины Δh_{cp} показаны на графике и обычно не превышали $2{-}5\,\%$.

Как следует из результатов, приведенных на рис. 27, в поверхностных слоях величны h (в) монотонно возрастают с увеличеннем угла β , достигая максимального значения при β =60···90°. Таким образом, в поверхностных

слоях волокна преимущественно ориентируются вдоль образующей трубы. Во внутренних слоях величины h(β) уменьшаются при увеличении угла в и волокна асбеста преимущественно ориентируются по касательной к окружности трубы, т. е. так же, как и в трубах, получаемых на круглосеточных трубоформовочных машинах. Такую ориентацию во внутренних слоях можно объяснить тем, что волокна асбеста увлекаются вращением дорна. Во внешних слоях ориентирующее действие оказывает сила трения о неподвижную рубашку цилиндра пресса, направленная вдоль его оси. Следует отметить, что степень ориентации в поверхностных слоях ниже, чем во внутренних слоях. Исследования показали, что ориентация волокон асбеста при формовании труб способом экструзии связана с относительным перемещением асбестоцементной массы и леталей экструлера. Поэтому правомерно предположение, что, регулируя скорости лвижения массы и меняя конструкцию рабочих органов экструдера, можно оказывать влияние на ориентацию асбеста в асбестоцементных трубах, производимых способом экструзии.

Таким образом, выполненные исследования показали, что коэффициенты внешнего трения асбестоцементных смесей обычных составов значительно выше, чем аналогичные фрикционные характеристики глиняных и плас-

тических масс.

Коэффициенты статического и кинетического внешнего трения асбестоцементных смесей подчиняются закону Амонтона — Кулона (7), и на их величину существенное влияние оказывают количество асбеста, влажность асбестоцементной массы и величины нормального давления.

Сопротивление сдвигу асбестоцементных смесей может быть выражено уравнением (14), связывающим квазанную величину с величиным структурного сцепления при отсутствии нормального давления, коэффициентом структурного сцепления и коэффициентом внутренного трения.

Коэффициенты трения асбестоцементных смесей зависят от влажности и содержания асбеста и уменьшают-

ся по мере их возрастания от 0,72 до 0,48.

Коэффициент кинетического трения асбестоцементных смесей существенно снижается при введении пластифицирующей добавки—полиакриламида. Так, при использовании ее в количестве 0,5% от массы сухих веществ коэффициент кинетического трения снижается вдвое и составляет 0,3—0,35, что приближается к значению коэффициента трения глининых материалов.

Нормальное давление, развивающееся при формованин асбетогиементных смесей в экструдере, повышается в зоне уплотнения и снижается по выходе изделии из формующего устройства. Максимальная зафикстрованная величина нормального давления составыя 30—
34-10° Па при содержании в асбестоцементной масса 10—13%, асбеста и влажности ее 20%. Нормальное давление снижается по мере увеличения влажности асбестоцементной массы и содгржания асбеста в смеси в пределах изученного интервала. Применение пластифицирующей добавки в количестве 0,25% сказывается на снижение нормального давления при формовании. С учетом изменения влажности асбестоцементных смесей пластифицирование снижает величину нормального давления в
зоне максимального упластифин в
зоне максимального упластифин в
зоне максимального упластифин в
зоне максимального упластифин в
зоне максимального упластиения в
зоне максимального упластием

развитается правежения

запастием

запастием

В результате изучения фрикционных характеристик асбестоцементных смесей и воличин нормальных давлений в экструдере получены данные, необходимые при конструировании основного технологического оборудования для экструазонной технологии асбестисмента.

глава і

ВЛИЯНИЕ КАЧЕСТВА СЫРЬЯ
И ДРУГИХ ТЕХНОЛОГИЧЕСКИХ ФАКТОРОВ
НА СВОИСТВА АСБЕСТОЦЕМЕНТА,
ПОЛУЧАЕМОГО СПОСОБОМ ЭКСТРУЗИИ

1. ВЛИЯНИЕ СЫРЬЯ И РЕЖИМОВ ЕГО ПОДГОТОВКИ

Методика технологических исследований

Оценка свойств асбестоцемента, получаемого способом экструзии, проводилась на образцах труб, полученных на описанной выше экспериментальной установке.

Асбестопементную массу приготовляли в лабораторной мешалке, в которой вначале готовили сухую асбестоцементную смесь, а затем вводили в заданном количестве воду и перемешивали определенное время. В ряде опытов в массу вводили пластификатор-полиакриламид. Приготовлениую асбестопементную массу загружали в работающий экструдер. По выходе из экструдера трубы принимались на лотки, на которых они находились в течение 18—20 ч в помещении лаборатории. Затем трубы погружали в воду при температуре В —20°С. « котолой нахопились по момента испытания.

Свойства изготовленных труб оценивали в возрасте 14 суток после формования по следующим показателям:

а) разрывное давление *P* (в МПа) определялось на образцах труб длиной 50 см на гидравлическом прессе в соответствии с требованиями ГОСТ 1839—48 [34];

б) предел прочности при разрыве трубы $R_{
m pasp}$ (в Па) определяется по формуле

$$R_{\text{pasp}} = \frac{P(d+S)}{2S}, \qquad (24)$$

где d — внутренний диаметр трубы в см; S — толщина стенки трубы в месте разрыва в см;

 в) предел прочности при раздавливании R_{разд} (в Па) определяли по формуле

$$R_{\text{pas},A} = 0.955 \frac{P(d+S)}{IS^2}$$
, (25)

где P — усилие при раздавливании в Па; l — длина образца трубы в см;

г) водопоглощение образцов труб (W %) и объемную массу (γ кг/м³) определяли по формулам:

$$W = \frac{g_1 - g}{g}$$
 100; (26)

$$\gamma = \frac{g}{g_1 - g_2}, \qquad (27)$$

где g — масса образца, высушенного в теченне 24 ч, в кг; g_1 — масса образца, насыщенного водой на воздухе, в кг; g_2 — масса образца, насыщенного водой в воде, в кг;

д) ударную вязкость образцов труб R_{yz} (в Дж/м²) определяли по формуле

$$R_{yg} = \frac{A}{bh} , \qquad (28)$$

где A — работа, затраченная на разрушение образца при ударе, в Дж; b — ширина образца в м; h — толщина образца в м.

Основные технические свойства асбестоцемента, получаемого на круглосеточных машинах

Для дальнейшей объективной оценки возможности экструзионного способа производства асбестоцементных изделий целесообразно рассмотреть основные свойства изделий, изготавливаемых по традиционной технологии, а также влияние на них сырыевых компоентов.

Асбестоцимент представляет собой цементный камень, дисперсно армированный волокнами асбеста. Введение в цементный камень асбеста резко изменяет его свойства, значителью повышая прочность материала на изгиб, растяжение и удар, аналогично арматуре в железобетоне. Так, предел прочности при изгибе и ударе асбестоцемента по сравнению с неармированным цементным камнем возрастает в 2,5—3 раза при использования 5—6-го («шиферных») сортов асбеста и более значительно—при использования 3—4-го («трубных») сортов асбеста.

Нарвду с высокими прочностными показателями асбестопементные изделия огнестойки, атмосферостойки и гизлостойки, легко гвоздятся и поддаются механической обработке. Указанные свойства асбестоцемента дедают его элфективным для использования в строитель-

стве в виде тонкостенных изделий.

Свойства асбестопемента как материала изложены в ряде рабог (4, 16, 65, 79). Наиболее полно они систематизированы в работе Г. С. Блоха и А. Н. Литвинова [16]. Нами рассмотрены те из основных свойств асбестоцемента, которые изучались применительно к экструзионной технологии.

Предел прочности асбестоцемента при изгибе (R_{res}) зависит от ряда факторов и прежде всего от качества ассебеста и цемента. Значительное влияние на прочность оказывает и плотность. Как установлено И. И. Бернеем [14], зависимость между прочностью асбестоцемента, изготовленного на круглосеточных листоформовочных машинах, и объемной массой может быть выражена следующим уравнением:

 $R_{\rm H3F} = k \gamma^2, \tag{29}$

где k — постоянная величина, зависящая от качества сырья и технологических условий изготовления асбестоцемента.

На прочность асбестоцемента влияет и его влажность. Асбестоцемент, высушенный до постоянного веса, имеет прочность при растяжении и изгибе на 12—18% больше, чем в воздушно-сухом состоянии. Прочностные показатели листового асбестоцемента (в сильном направлении) приведены в табл. 17.

Таблица 17. Прочностные показатели листового

			Предел прочности в Па			
Асбестоцементные изделия	Сорт асбеста	Объемная масса в кг/м ^а	при растяжении	при изгибе		
Непрессованные профилирован- ные листы .	5—6 4—5		100125-105	160-210-10		
То же Непрессованные плоские лис-	4-5		120—135-108	180-220 · 10		
ты	5-6 4-5	1500—1600 —	115—150·10 ⁸ 135—170·10 ⁸	190—250 · 100 215—270 · 100		
листы То же	5-6 3-5	1900-2000	160—195·10 ⁸ 200—250·10 ⁸	270-320 · 108 340 4 20 · 10		

Прочность асбестоцемента во времени растет, что видно из данных, приведенных в табл. 18.

Таблица 18. Измененне прочности асбестоцемента во времени

Возраст асбесто-	Предел прочности	Возраст асбесто-	Предел прочност
цемента в сут	при изгибе в %	цемента в г	при изгибе в %
7	75	1	116
14	90	5	119
28	100*	10	121
90	112	20	125

^{*} За 100% прянята прочность в возрасте 28 сут., равная 190-10° Па.

Для асбестоцементных труб предел прочности при изгибе $(R_{\text{изг}})$ характеризуется следующими величинами (табл. 19).

Коэффициент однородности асбестоцемента, вырабанаваемого на круглосеточных машинах, по данным Л. Н. Пицкеля и М. С. Русниой [66], составляет при поперечном изгибе 0,65—0,7, а при осевом растяжении — 0,5—0,55

Таблица 19. Прочностные показатели асбестоцементных труб

Трубы					Сортамент	Объемная	Предел прочности
					асбеста	масса в кг/м ^в	в Па
Водопроводные . Канализационные		,	:	:	3-4 3-4-5	1800—1900 1600—1700	300—350·10 ⁸ 210—250·10 ⁸

Марная вязкость асбестопемента характеризуется пределом прочности при ударном изгибе, которая вычисляется как частное от деления величины работы, заграчиваемой на разрушение асбестопементного образца на площадь его поперечного сечения. В свою очередь, сила, которую надо приложить для разрушения материала, попоприномальна его леформационной способности.

Предельная деформативность материала характеризуется величиной относительного удлинения к моменту разрушения материала и составляет по данным Л. Н. Пицкеля [66] и Т. М. Берковича [6]—(20—40) 10-5, а по данным Ю. А. Арго [2] (55—65) 10-5. Эта величина весьма невелика, что и определяет сравнительно невысокую сопротивляемость асбестоцемента ударным нагрузкам.

Как отмечалось выше, ударная вязкость асбестоцемента зависит главным образом от количества и качест-

ва используемого асбеста.

Уларная вязкость неармированного цементного камяя примерно 0,45- 10^3 Дж/м² [26]. Для листовых асбестощементных изделий, изготовленных на асбесте, 5—6-го сорта ударная вязкость колеблется от 1 до 2,5 \times \times 10^3 Дж/м².

Асбестоцемент, изготовленный на асбесте 3—4-го сортов, имеет ударную вязкость от 3 до 5-10 Дж/м². Ударная вязкость несколько повышается с ростом плогности материала, а также растет при увеличении влажности асбестоцемента (за счет увеличения его деформативности).

Зависимость ударной вязкости асбестоцемента от влажности определяется по формуле, предложенной Г. С. Блохом [16]:

 $R_{\rm уд} = R_0 + 0.011 \, \omega$, (30) где R_0 — величина ударной вязкости сухого асбестоцемента; ω — влажность испытываемого образца в %.

влажность испытываемого образца в тр.

ДРимирующая способность асбеста в асбестоцементе определяется, пои прочих равных условиях, главным

образом, величниой сцепления волокон сцементным камнем. В свою очередь, велична сцепления с цементным камнем тем выше, чем выше удельная поверхность асбеста, а также степень гидратации пемента. В сязу исэтим для более полного использования армирующих свойств асбеста следует стремиться к более тонкой распушке и к использованию тонкодисперсных цементов, что, однако, не всегда возможно, учитывая требования применяемой традиционной техностии.

Как показали работы Л. А. Лукошкиной и др., тонкая распушка положительно влияет на прочностные свой ства асбестопемента, так как прочность волокон асбеста повышается по мере уменьшения их диаметра. Волокна наметром 5 мк имели в среднем предел прочности при растяжении 18 000-10° Та, днаметром 10мк — 12 000 × Х10° Па, диаметром 15 мк — 8000-10° Па, диаметром 30 мк — 4000-10° Па и диаметром 60 мк — 2000-10° Па

ſ491.

Рассматривая влияние асбеста на прочность асбестоцемента, Е. Н. Китаев предложил следующую зависимость между пределом прочности при изгибе и количеством асбеста и цемента [43]:

$$R_{\rm HSF} = k \; \frac{5,33 \; (M_a + M_{\rm II})}{M_{\rm II}} \; . \tag{31}$$

где k — коэффициент, определяющий качество волокон асбеста; M_n и M_n — процентное содержание асбеста и цемента в асбестоцементе.

П. Н. Соколов считает, что для асбестоцемента имеет существенное значение не длина воложна, а отношение длины воложна к его диаметру и, при более тонкой растушке асбеста и применении более тонкомолотого цемента, можно, используя коротководожнистые сорта асбеста, получить изделия той же механической прочности, что и при использовании длиниводоложинстого асбеста.

Оптимальное соотношение длины волокна к диаметру должно составлять от 83 до 130 в зависимости от вида продукции и силы сцепления волокна асбеста с це-

ментом.

Для проектирования состава асбестоцемента П. Н. Соколовым предложена следующая формула:

$$\frac{a}{b} = 0.11 \frac{d_a^2}{(d_a + d_u)[d_u]}, \qquad (32)$$

где a — содержание асбеста в %; b — содержание пемента в %; d_{a} — средний диаметр волокон асбеста в мк: d_{a} — средний диаметр зерен пемента в мк.

Полробные исследования влияния сорта и количества асбеста на физико-механические показатели асбестопемента выполнены в НИИАсбестпементе Л. А. Лукошкиной и Ф. Л. Давыдовой [49]. Было показано, что зависимость, предложенная Е. Н. Китаевым, справедлива только при определенных пределах значений Ма и Мл. В этой же работе отмечается, что формула (32). предложенная для проектирования состава асбестоцемента, относится только к чистому обеспыленному волоки и неприменима к товарному асбесту. При использовании последнего в формулу должны быть введены поправочные коэффициенты в зависимости от степени запыленности волокна

В дальнейшем Е. Н. Китаев, изучая влияние свойства асбестоцемента и производительность дистоформовочного оборудования количества, сортамента и степени распушки асбеста, показал, что при увеличении солержания асбеста в асбестоцементе с 10 до 16% прочность при изгибе в возрасте 7 сут. возросла со 160-105 Па по 225-105 Па (состав смески асбеста: П-5-50-40%: М-6-60-40% и П-6-45-20%. Аналогичное влияние оказывает и рост степени распушки асбеста с 60-65 до 90-95%

Портландиемент является одним из основных видов сырья, используемого в производстве асбестоцементных изделий. Как отмечает Т. М. Беркович [4, 7], опыт промышленности и результаты научно-исследовательских работ позволили установить, что для достижения высоких физико-механических показателей асбестоцемента в короткие сроки твердения должны применяться портландцементы достаточно высокой марки (400-500) с нормированным химико-минералогическим со-CTABOM (CaS≥50%, CaA=4...8%, SOa=1.5...3.5%).

Оптимальная писперсность цемента зависит от сортамента и физико-химических свойств примененного асбеста и его содержания, а также от химико-минералогического состава клинкера и условий формования

асбестопемента.

Так, в дабораторных опытах Е. Н. Китаева показано, что увеличение удельной поверхности алитового портландцемента до 4500 см2/г способствует

вышению прочности прессованных асбестоцементных образов. К аналогичному выводу в дальнейшем прила Т. М. Славина, которая в результате лабораторных работ подтвердила, что использование алитовых портландцементов, солержащих С_А до 6-8% с улельной поверхностью 4100-4700 см $^2/r$, приводит к p-сгуфизико-механических показателей прессованного асбестоцемента 1781.

В практических же условиях было показано, что повышение тонкости помола выше 3000—3500 см²/г ухудшает фильтрационные свойства асбестошементных суспензий и приводит вследствие этого к снижению производительности круглосеточных листоформовочных машин. Одновременно вследствие повышенной водо-удерживающей способности отфильтрованных асбестовментных слове сниженся илотированных асбестовментных слове спиженся илотированных асбестовментных слове спиженся илотированность и соответствен-

но прочность асбестоцементных листов.

Еще больше приходится ограничивать дисперсность переправлящиемента при содержании в нем повышенного количества Съд (8–12%). В этом случае удельная поверхность цемента не должна превышать 2200—2500 сх²/г. В последнее время в связи с использованием в производстве листовых асбестоцементных изделий ассета Джетыгаринского месторождения, обладающего повышенной водоудерживающей способностью, тонкость помола цемента даже при содржании Съд не выше 8% ограничивается до 2200—2500 сх²/г.

В производстве асбестоцементных труб, где применяется асбест повышенного сортамента и в больших количествах, чем в производстве листовых изделий, оптимальная дисперсность цемента выше и может быть

принята в пределах 3000-3500 см2/г.

Влияние сырья и некоторых других технологических факторов на свойства асбестоцемента, получаемого методом экструзии

Изучение зависимостей физико-механических свойств изделий, полученных способом экструзии от основных технологических факторов, производилось с применением метода математического планирования эксперимента, что дает возможность получить информацию о многофактороно зависемости при минимальном ко-

личестве опытов, так как позволяет одновременно варьировать несколько факторов. Использование математического планирования эксперимента позволяет также количественно оценить силу влияния факторов и влияние взаимодействий факторов [56].

В случае использования математических методов планирования эксперимента функцию отклика аппрок-

симируют полиномом

$$y = \beta_0 + \sum_{i < J}^k \beta_{ii} + \sum_{i < J}^k \beta_{iij} x_i x_j + \sum_{i < J}^k \beta_{ii} x_i^2 + \dots,$$
 (33)

где β_0 , β_i , β_{ij} , β_{ii} — теоретические коэффициенты регрессии.

В результате эксперимента получают коэффициенты регрессии, которые являются оценками теоретических коэффициентов:

$$b_0 \rightarrow \beta_0$$
; $b_I \rightarrow \beta_I$; $b_{II} \rightarrow \beta_{II}$; $b_{II} = \beta_{II}$.

Поэтому уравнение регрессии, полученное на основании экспериментов, имеет вил:

$$\mathring{y} = b_0 + \sum_{i=1}^{k} b_i x_i + \sum_{i=1}^{k} b_{ij} x_i x_j + \sum_{i=1}^{k} b_{ii} x_i^2 + \dots, \quad (34)$$

где b_0 — свободный член; b_i — коэффициенты, оценивающие линейные эффекты; b_{ij} — коэффициенты, оценивающие эффекты взаимодействия; b_{ii} — коэффициенты, оценивающие квадратичные эффекты;

у — расчетное значение параметра оптимизации.

В нашем исследовании в жачестве независимых переменных рассматривали следующие факторы:

 x_1 — количество асбеста в асбестоцементной массе;

 x_2 — исходная влажность асбестоцементной массы; x_3 — количество пластифицирующей добавки;

х. — лисперсность цемента:

 x_5 — время перемешивания асбестоцементной массы.

— время переменивания асостойскенном засельных выбор независимых переменных, их уровней и интервалов варьирования (табл. 20) был сделан с учетом результатов поисковых исследований, а также опыте производства асбестоцементных и других материалов на основе цемента. Кроже того, при выборе интервалов варьирования факторов учитывалось, что интервал варьирования фактора должен быть больше удвоенной квадоатичной ошибки его определения.

	Варьируемые факторы					
Наименованне	количество асбеста в асбесто- цементной массе в %	нсходияя влаж- ность асбесто- цементной массы в %	количество плас- тифицирующей добавки в %	дисперсиость цемента в см²/г	длятельность перемешназиня	
Кодовое обозначение переменных Основной уровень (0) Интервал варынровання Верхний уровень (+1) Нижний уровень (—1)	x ₁ 15 2 17 13	21 1 22 20	x ₃ 0,13 0,13 0,25 0	x ₄ 4250 550 4800 3700	x ₈ 35 15 50 20	

Так, содержание асбеста в асбестоцементной массе изменялось от 13 до 17%; усла-ивая поверхность цемен-та— от 3700 до 4800 см $^4\mu$ г; влажность массы— от 20 до 22%; количество пластифицирующей добавки— от 0 до 0,25%; продолжительность перемешивания изменялась от 20 до 50 мин.

В качестве функций отклика рассматривали:

 y_1 — предел прочности при раздавливании;

 y_2 — предел прочности при разрыве; y_3 — ударная вязкость:

ударная вязкость
 и. — объемная масса.

Далее была реализована матрица полуреплики

2⁵⁻¹, которая вместе с результатами экспериментов приведена в табл. 21 и 22. При составлении матрицы планирования фактор х₅ был приравнен к взаимодействию четырех факторов:

x₅=x₁x₂x₃x₄.
Получена следующая система смещивания оценок:

 $\begin{array}{lll} B_1 \leftarrow \beta_2 + \beta_{2344}; & B_{15} \leftarrow \beta_{15} + \beta_{234}; \\ B_2 + \beta_3 + \beta_{1344}; & B_{22} \leftarrow \beta_{13} + \beta_{1344}; \\ B_3 - \beta_3 + \beta_{1344}; & B_{24} \leftarrow \beta_{14} + \beta_{134}; \\ B_4 - \beta_4 + \beta_{1344}; & B_{34} \leftarrow \beta_{34} + \beta_{134}; \\ B_5 - \beta_5 + \beta_{1344}; & B_{34} \leftarrow \beta_{34} + \beta_{134}; \\ B_{11} - \beta_{12} + \beta_{244}; & B_{34} \leftarrow \beta_{34} + \beta_{132}; \\ B_{13} - \beta_{13} + \beta_{344}; & B_{45} \leftarrow \beta_{44} + \beta_{132}. \end{array}$

Из приведенной системы смешивания оценок следует, что, считая тройные и четверные взаимодействия незначимыми, получаем независимые оценки линейных эффектов и парных взаимодействий.

Расчет коэффициентов регрессии осуществлен по

формулам:

$$\sum_{u=1}^{N} y_{u} \\ b_{0} = \frac{\sum_{u=1}^{N} x_{lu} y_{u}}{N}; \quad b_{l} = \frac{\sum_{u=1}^{N} x_{lu} y_{u}}{N}, \quad (35)$$

где x_{iu}, x_{ju} — значение фактора x_ix_j в опыте; y_u — значение функции отклика в том же опыте; N — число опытов.

Проверка значимости коэффициентов регрессии (табл. 23) проводилась по *t*-критерию:

$$t = \frac{b_i}{S \left\{ b_i \right\}},\tag{36}$$

где $S\{b_i\}$ — ошибка определения коэффициента.

 $S^2_{
m BOCH}$ { y } — ошибка воспроизводимости, определенная по формуле:

$$S_{\text{Boenp}}^2 = \frac{\sum_{u=1}^{N} \sum_{i=1}^{n} (y_{iu} - \bar{y}_u)^2}{N(u-1)},$$
 (37)

где n — число параллельных опытов.

Число степеней свободы для определения t-критерия:

$$f = N (n - 1)$$
.

В наших опытах: N=16, n=2, f=16.

Коэффициенты регрессии, для которых t < 2,12 (при $\alpha = 0,05$; f = 16) отличаются от нуля, а соответствующие им переменные или парные взаимодействия незначительно влияют на процесс, и ими можно пренебречь.

После исключения незначимых членов были полу-

чены следующие уравнения регрессии:

$$R_{\text{pa3},\text{fl}} = 222 + 22,7 \, x_1 + 7,95 \, x_2 + 13,3 \, x_4 + 18,6 \, x_5 - 23,7 \, x_1 \cdot x_2 + 27,4 \, x_1 \, x_3 - 23,8 \, x_1 \, x_4 - 19,1 \, x_1 \, x_5 +$$

 $+8.2 x_2 x_3 - 15.5 x_2 x_5 + 7.6 x_3 x_4 + 14.3 x_3 x_5 - 12.9 x_4 x_5;$ (38) $y = 1.77 - 0.011 x_1 - 0.028 x_2 + 0.043 x_3 - 0.028 x_4 +$

 $+0.017 x_1 x_2 - 0.06 x_1 x_5 - 0.014 x_2 x_4 + 0.017 x_2 x_5 + 0.012 x_8 x_4 - 0.009 x_2 x_5.$ (39)

3(0,5) 3ax. 358

Таблица 21. Результаты технологических исследований

	Асбест		бест		6	÷	95	ė e	eTb	8	or a	e
Маркировка	сорт	содержание я %, х ₁	Удельная поверх- ность цемента в см²/г, к.	продолжитель- иость перемеши- вания в мин, х _ь	Содержание пластифицирую-	Заданная влаж ность в %. хв	Разрывное давле- ике в ат	Предел прочюс- ти при разрыве в Па	Удариая вязкость в Дж/м³	Предел прочиости при раздав- дивании Кразд в Па (среди.)	Объемная масса у в кг/м ^а	Водопоглощение W в %
1	2	3	4-	5	6	7	8	9	10	11	12	13
1	П-5-65	17	4800	50	0,25	22	8	54 - 10*	1,46-104	240-104	1760	19,8
2	П-5-65	13	4800	20-	0,25	22	Формуемос трен	ть плохая, ины	1,15-10*	226-104	1760	20,5
3	П-5-65	13	4800	50	0,25	20	6	40-10*	1,59-10*	236-104	1850	16,9
4	П-5-65	13	4800	20	0	20	7.5	50-10*	1.45-10*	213-10*	1800	19,9
5	П-5-65	13	3700	50	0	20	8	52-10*	1.5-104	220-104	1780	20,8
6	П-5-65	17	3700	20	0,25	22	7.5	49-10*	1,54-10*	261-10*	1850	17,7
7	П-5-65	17	3700	50	0	22	8	51-10*	1,2-10*	200-104	1700	20,9
8	П-5-65	17	3700	20	0	20	8	54-104	1,43-104	240-10*	1780	20,4
9	П-5-65	13	3700	50	0,25	22	6	42-10*	1.44-10*	221-104	1780	18,7
10	П-5-65	17	4800	20	0	22	5	34-10*	1,4-10*	213-10+	1690	21,6
11	П-5-65	17	4800	20	0,25	20	8	60-10*	1.61-10*	265 - 104	1920	15,3
12	П-5-65	17	4800	50	0	20 .	7.5	46-10#	1,26-10*	217-10*	1670	21,4
13	П-5-65	17	3790	50	0,25	20	Формуемое трен		1,09-10*	318-10*	1720	20,3
14	П-5-65	13	43700	20	0,25	20		i l			1890	16,4
15	П-5-65	13	4800	50	0	22	7	49-10*	1,08-104	269-104	1690	22,9
16	П-5-65	13	3700	20	0	22	6	48-104	1,59-10*	206-10*	1720	20,5

Т а б л и ц а 22. Матрицы планирования (2⁵⁻¹) и результаты испытания образцов в возрасте 14 суток (среднее из двух паралельных опытов)

£1 '	<i>x</i> ₂	х,	x ₄	х,	R _{разр} , в Па	R _{разд} , в Па	_{Куд} , в Дж/м²	ү, в кг/м ^в	W. B %
+++	++1++	+++	++++	+++++	54-10 ⁵ 0 40-10 ⁵ 50-10 ⁵ 52-10 ⁵ 48-10 ⁵ 51-10 ⁵ 54-10 ⁵ 34-10 ⁵ 34-10 ⁵ 40-10 ⁵ 0 0 49-10 ⁵ 48-10 ⁵	240 · 105 226 · 105 236 · 105 236 · 105 221 · 105 220 · 105 221 · 105 240 · 105 241 · 105 221 · 105 213 · 105 217 · 105 217 · 105 218 · 105 219 · 105 219 · 105 210 · 105	1,46·10 ³ 1,15·10 ³ 1,59·10 ³ 1,45·10 ² 1,54·10 ³ 1,54·10 ³ 1,2-10 ³ 1,44·10 ³ 1,44·10 ³ 1,44·10 ³ 1,61·10 ³ 1,03·10 ³ 1,08·10 ³ 1,98·10 ³ 1,98·10 ³	1760 1760 1850 1850 1780 1780 1780 1780 1690 1920 1670 1720 1880 1690 1720	19,8 20,5 16,9 19,9 20,8 17,7 20,9 20,4 18,7 21,6 15,3 21,4 20,3 16,4 22,9

Таблица 23. Проверка значимости коэффициентов регрессии

	Значения экспериментального								
Параметры	$S^2_{\text{Boenp}}(y)$	S {b _i }	$B_{\mathbf{i}}$	В,	B ₀	B4 .	B_b	B ₁₂	
Предел прочио- сти при раз- давливании . Объемная масса	83 2,5·10 ⁻⁴	2,3 0,004	7,1 2,77	2,48 7	0,22 10,7	4,15 1	2,68 7,05	7,41 4,25	

Адекватность полученных уравнений проверяли с помощью критерия Фишера

$$F = \frac{S_{ag}^2}{S_{BOCID}^2},$$
 (40)

где S^2_{aR} — дисперсия адекватности математической модели; S_{boemp} — дисперсия воспроизводимости, характеризующая ошибку опыта $S^2_{boemp} = S_2(\widehat{y})$.

$$\begin{split} S_{\text{ag}}^2 \left(R_{\text{pasg}} \right) &= \frac{588}{16 - 14} = 294; \quad \text{F} \left\{ R_{\text{pasg}} \right\} = \frac{294}{33} = 3.53; \\ F_{f_1}^{\text{rada}} &= 2; \quad f_2 = 16; \quad S_{\text{ag}}^2 \left(t \right) = \frac{26 \cdot 10^{-4}}{16 - 11} = 5.2 \cdot 10^{-4}; \\ F \left(t \right) &= \frac{5 \cdot 2 \cdot 10^{-4}}{2 \cdot 5 \cdot 10^{-4}} = 2.08; \\ F_{f_1, = 5}^{\text{rada}}; \quad f_3 = 10 = 2.9; \end{split}$$

Дисперсию адекватности находим по формуле

$$S_{ag}^{2} = \frac{\sum_{u=1}^{N} \left(\stackrel{\wedge}{y}_{u} - \stackrel{\rightarrow}{y}_{u} \right)^{2}}{N - K}, \qquad (41)$$

где y_u — среднее значение отклика в исследуемом опыте; y_u — значение функции отклика, рассчитанное по уравиению; N — число опытов; K — количество коэффициентов.

Проверка адекватности приведена в табл. 24, из которой следует, что уравнения (38), (39) адекватиы, так как $F_{\text{экол}} < T_{\text{табл}}$.

t-критерия при коэффициентах

В1,	B ₁₄	B ₁₈	B ₂₃	B14	Bas	B ₁₄	B ₈₈	B44
8,6 2	7,45 0,75	5,96 5,15	2,56 0,2	1,81 3,5	4,85 4,25	2,36	4,46 2,25	4,03 0,5

Таблица 24. Проверка адекватности уравнений

_		R _{раздавл}			Объемная ма	ісса, у
	u	^	$(y - \stackrel{\wedge}{y})^{*}$	<u>y</u>	۵	(y-y)2-104
٠.	240·10 ⁵ 226·10 ⁵ 226·10 ⁵ 236·10 ⁵ 231·10 ⁵ 220·10 ⁵ 220·10 ⁵ 220·10 ⁵ 240·10 ⁵ 221·10 ⁵ 213·10 ⁵ 217·10 ⁵ 318·10 ⁵ 0 269·10 ⁵ 206·10 ⁵	247 · 10 ⁵ 233 · 10 ⁸ 231 · 10 ⁸ 207 · 10 ⁵ 226 · 10 ⁵ 226 · 10 ⁵ 246 · 10 ⁵ 246 · 10 ⁵ 218 · 10 ⁵ 260 · 10 ⁵ 250 · 10 ⁵ 275 · 10 ⁵ 285 · 10 ⁵ 275 · 10 ⁵ 200 · 10 ⁵	40 49 25 36 36 25 36 25 25 25 25 25 36 49 64 36 36	1760 1760 1850 1800 1880 1780 1780 1780 1780 1690 1920 1670 1720 1880 1690 1720	1750 1770 1870 1800 1770 1830 1710 1780 1780 1790 1910 1670 1710 1880 1690 1740	1 4 4 4 0 0 1 1 4 1 0 0 0 1 1 1 0 0 1 1 0 4 4 4

Таким образом, и интересующей области факторнопространства математическими моделями изученных зависимостей являются неполные квадратичные уравнения. Продолжать далее эксперимент (крутое восхожение) с целью понска оптимума не представляется целесообразным, так как в этом случае пришлось бы выйти из реально возможных границ независимых переменных.

Из уравнений (38) и (39) видно, что эффекты взаимодействия факторов весьма существенны, т. е. влияние каждого из факторов на $R_{\rm pagn}$ и у зависят от величины других факторов. При рассмотрении уравнения

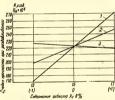
для $R_{\mathrm{разд}}$ наиболее сильное взаимодействие факторов x_1x_3 , x_1x_4 , x_1x_5 , x_6 , е. влияние расхода асбеста в значительной степени зависит от добавки пластификатора, удельной поверхности цемента и влажности асбестоцементной массы.

Из уравнения (33) следует, что взаимодействие x_1x_0 положительно, причем фактор x_3 не имеет значительного линейного коэффициента регрессии. В этом случае при положительном влиянии фактора x_1 , которое имет место при определенном сочетании x_2 , x_4 , x_5 , эффект фактора x_1 возрастает при повышении уровня фактора x_5 , а влияние фактора x_5 женяется с отримательного на положительный при повышении уровня фактора x_1 .

При графической интерпретации наличие взаимодействия факторов выражается различными наклонами прямых $y = f(x_1)$ при фиксировании прочих факторов

на разных уровнях.

Из рис. 28 следует, что увеличение расхода асбеста от 13 до 17% при x_2 =0, x_4 =0, x_3 =0 приводит к увели-



добавка 0,25%; 2— то же. Q,13%; 3— без добавки. Влажность асбестоцементной массы—20%; удельная поверхность цемента—4250 см²/гг. прэдолжительность перемещения—35 мин

чению $R_{\text{разд}}$ при наличии пластификатора, причем к более сильному при максимальной (в рассматриваемом интервале) добавке пластификатора 0,25%.

При отсутствии пластификатора увеличение содержания асбеста не приводит к повышению $R_{\rm pagn,}$ что объясняется ухудшением формовочных свойств асбестоцементных смесей и, вследствие этого, нарушением структуры материала при экструзии. Таким образом, использование пластификаторов позволяет рекомендовать для производства асбестоцементных изделий способом экструзии асбестоцементных массы при повышенном содержании асбеста. При этом провъляется прямоиннейная зависимость между прочностью и содержапинейная зависимость между прочностью и содержапинейная зависимость между прочностью и содержапинем асбеста, характерная (в рассматриваемом интервале содержании асбеста) для обычного асбестопемента.
Следует отметить, что введение пластификатора эффективно при содержании асбеста, трревышающем определенную величину. Последияя, в свою очерель, зависит от уровия других факторов и при изменении удельной поверхности цемента при (х2—0, х5—0) в пределах
3700—4800 см³/г находится в интервале 14,5—15,5%
асбеста марки П-5-65 в массе. При увеличении удельной поверхности цемента минимальный расход асбеста,
при котором целесообразно введение пластификатора,
снижается.

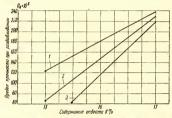


Рис. 29. Зависимость прочности при раздавливании асбестоцемента от содержания асбеста и удельной поверхности цемента при фиксированных значениях других факторов

1— члельная поверхность пемента — 4800 см²/г; 2 — то же, 4250 см²/г; 3—

I — удельная поверхность цемента — 4800 см²/г; 2 — то же, 4250 см²/г; 3 — то же, 3700 см²/г. Влажность —20%; пластифицирующая добавка — 0,25%; продолжительность перемещивания — 20 мин

На рис. 29 по уравнению (38) построены зависимости $R_{\rm pasq}$ от количества асбеста (x_t) в асбестоцементной массе при различной удельной поверхности цемента. Остальные переменные приняты на следующих уровнях: $x_2 = -1$, $x_3 = -1$, $x_5 = -1$. В этом случае линейные коэффициенты регрессии при x_1 и x_4 положительны, τ . е. оба фактора расхода асбеста и удельная поверхность цемента положительно влияют на $R_{\rm pasq}$

(чем больше расход асбеста и выше удельная поверхность цемента, тем выше показатель $R_{\rm pssy}$). В то же время взаимоцействие $x_i x_i$ отрицательно, т. е. положительный эффект каждого на факторов x_i и x_i ослабляется при повышенин уровия другого. На рис. 29 это положене иллострируется меньшими наклонами кривой при $x_i = +1$ по сравненное с кривой при $x_i = -1$ по сравненное с кривой при $x_i = -1$

Таким образом, положневьное влияние дисперснощемета сказывается тем в большей степени, чем ниже содержание асбеста в асбестоцементной массе. По-видимому, для получения такого же увеличения прочности (R_{рава}) пірн содержанин асбеста 17% от изменения удельной поверхности цемента с 3700 до 4800 см²/г, что и при содержании асбеста 13%, необходима большая пластификация массы.

Из приведенных данных следует, что снижение расхода асбеста в определенном интервале можно компенсировать (по $R_{\rm pagn}$) примененнем цемента более высокой литерелести.

Таким образом, для экструзнонного асбестоцемента не существует ограничений в дисперсности цемента, которое имеет место при технологическом процессе с использованием круглосеточных машин.

Роль влажности в значительной степени зависит от уровня других факторов. Так, при $x_3 = +1$, $x_4 = 0$, x = -1 увеличение влажности в рассматриваемых пределах, вследствие дополнительного пластифицирующего эффекта, приводит к некоторому увеличению $R_{\rm разд}$, большему при меньшем содержания асбеста.

На прочность экструзновного асбестоцемента оказывает влияние и продължительность перемещивания асбестоцементной массы. Из уравнения (38) следует, что положительной рото означает, что положительный эффект каждого из факторов x₁ и x₅ ослаболяется при повышения уровия другого (рис. 30) при увеличении расхода асбеста не удается придать асбестоцементной массе нужных формовчик свойств только за счет няменения длятельности перемещивания без одновременного увеличения слержания пластификатора. Инмым словами, положительная роль увеличения длятельности перемещивания синжается по мере индивидения следуальность перемещивания синжается по мере увеличения доста То означает, что повышение количества гидратных новообразований при длятельном перемещивания без дополнительной нитей-

сификации процесса гидратации не обеспечивает должного пластифицирующего эффекта в случае повышенного расхода асбеста без одновременного увеличения содержания пластификаторов.

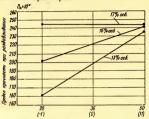


Рис. 30. Зависимость $R_{\rm pasy}$ от продолжительности перемешивания: асбестоцементной массы при различном содержания асбеста Удельная поверхность цемента — 4250 см²/г; влажность — 21%; пластифицирующая добавка — 0,13%

В то же время увеличение длительности перемешивания сказывается положительно при дополнительном введении пластифицирующих добавок. Об этом свиде-

Рис. 31. Зависимость $R_{\text{разл}}$ от продолжительности перемешивания асбестоцементиой массы при различиом расходе пластификатора

I — пластифицирующая добавка — 0,25%; 2 — то же, 0,13%; 3 — без добавки. Удельная поверхность цемента — 4250 см²/г; влажность — 21%; содержание асбеста — 15%;



тельствует взаимодействие x₃x₅ в уравнении (38). Из рис. 31 следует также, что положительный эффект от введения пластификатора может быть достигнут лишь при продолжительности перемешивания больше опрелеленной величины, которая в проведенных опытах при $x_1 = 0$ $x_2 = 0$ $x_n = 0$ составляет приблизительно 35 мин. По-видимому, при недостаточно длительном перемешивании пластификатор неравномерно распределен в массе и вследствие этого не оказывает должного положительного действия. Следует отметить, что продолжительность перемещивания асбестоцементной по-разному сказывается на цементах различной дис-персности. Так, при коротком сроке перемешивания (20 мин) на цементе с повышенной удельной поверхностью (4800 см2/г) был получен асбестоцемент с прочностью на 25-30% выше, чем при использовании портландцемента с удельной поверхностью 3700 см2/г. При длительном же перемешивании (50 мии) цемент с удельной поверхиостью 3700 см²/г за счет достижения необходимой однородности может обеспечить ту же прочность, что и при использовании цемента с удельной поверхностью 4800 см2/г.

Из приведенного анализа следует, что изученные причем влиянот на Кърат причем влияние каждого из них в определенной степени зависит от уровня других факторов. Механиям взимодействия факторов обусловлен в основном специфи-

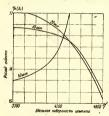


Рис. 32. Связь между расходом асбеста, продолжительностью перемешивания и удельной поверхностью цемента для получения $R_{pax} = 260 \cdot 10^5$ Па при
влажности 22% и добавке пластификатора
0.25 %

кой формования изделий экструзионным способом, состоящей в необходимости обеспечения должных формовочных свойств (пластичности, одиородности) асбестоцементной массы.

На основании уравнения (38) может быть определена зависимость между факторами, обеспечивающая заданную величину $R_{\text{разд}}$; задаваясь, например, $R_{\text{разд}}$ = =260 · 105 Па. можно по рис. 32 найти различные сочетания факторов x_1 , x_5 , x_4 (при $x_2 = +1$, $x_3 = +1$) и, таким образом, при вынужденном изменении одного из факторов (например, удельной поверхности цемента). залавшись определенным значением второго (например, временем перемешивания), можно найти необходимое в этом случае значение третьего фактора (содержание асбеста в массе), при котором обеспечивается Rnaar заданной величины. Из рис. 32 следует, что при заданной удельной поверхности цемента (до 4800 cm²/г) для получения асбестоцемента с заданным значением Врази уменьшение расхода асбеста возможно при увеличении длительности перемешивания. При удельной поверхности более 4800 см²/г повышение содержания асбеста должно сопровождаться одновременным увеличением длительности перемешивания, так как вязкость массы увеличивается и требуется дополнительное время для ее гомогенизации и придания нужных формовочных свойств

Основные физико-механические свойства асбестоцемента, получаемого методом экструзии

В результате выполненных исследований определеным основные физико-механические свойства экструзионного асбестоцемента, полученного при использования
асбеста марки П-5-65 на данном оборудования. При оптимальных соотношениях указанных сырьевых композаций, определенных в предыдущих разделах работы,
получены следующие физико-механические показатели
экструзионного асбестоцемента.

Предел	п	pot	но	сти		щ	н	pas	да	вл	нв	ань	и	
в Па								٠.						270 - 104
Предел	пр	041	ioc.	ти	п	н	pa	зрь	ве	В	Π	la		60 - 105
Разрыва	toe	Да	вл	ени	e	В	ат							9
Средняя	т.	лот	нос	сть	В	K	r/m²	١.						1859
Водопог	ло	ще	ние	В	%									15
Ударная	1 В	язн	ост	ъ	3 1	ĸĮ	K/M ²	٠.		i				1,6:103

Предел прочности при раздавливании (изгибе) близок к аналогичному показателю обычного асбестоцемента при использовании 5-го сорта асбеста (см. табл. 17). Важной характеристикой асбестоцемента, как отмечалось выше, является его ударная вязкость. Как видно из дачных, приведенных в табл. 25, при жаготовлении асбестопемента на асбесте марки П-5-65 ударная вязкость не превышала 1.6 · 103 Дж/м2.

Таблица 25. Изменение ударной вязкости асбестоцемента в зависимости от его средней плотности.

кание стоце- й массе		Средняя плотность в кг/м⁴										
Содеря асбеста в асбе ментно	1670	1690	1700	1720	1760	1780	1800	1850	1920			
13 17	1,26	1,08	=	=	1,15	1,36	1,4 1,55	1,5	1,62			

Анализ этих данных показывает, что на показатель ударной вязкости, как и для обычного асбестонемента: основное влияние оказывает содержание асбеста и плотность получаемого материала.

Ударная вязкость экструзионного асбестоцемента несколько ниже ударной вязкости асбестоцемента, получаемого обычным способом, при использовании аналогичного по качеству асбеста. Это объясняется, повидимому, как использованием асбеста с более низкой степенью распушки, так и отсутствием преимущественной ориентации волокон во внутренних слоях трубы.

Оценивая показатели основных свойств асбестоцементных труб, полученных способом экструзии, целесообразно сопоставить их с требованиями к безнапорным асбестоцементным трубам, а также к безнапорным трубам, изготовляемым из пругих материалов. В соответствии с ГОСТ 1839—48 «Трубы и муфты асбестоцементные для безнапорных трубопроводов» асбестоцементные безналорные трубы, независимо от диаметра, должны при испытании выдерживать пробное гидравлическое давление 0,4 МПа. Предел прочности при разрыве в этом случае, определенный по формуле (24), должен быть не ниже 32 · 105 Па.

Указанным требованиям должны отвечать трубы, изготовленные на типовой смеске, установленной «Типовой технологической картой» на производство безнапорных труб и состоящей из асбеста 3—5-го сортов в следующих количествах: П-3-70—35; П-4-20—35: П-5-50—30%.

Трубы бетонные и железобетоиные безнапорные в сонепрогницемость гидравлическим давлением: трубы нормальной прочности при 0,5 МПа, трубы повышенной прочности при 1,5 МПа, трубы повышенной прочности при 1,4 МПа. Предел прочности таких труб при разлавливании ($R_{\rm pan,l}$), определенный по формуле (25), должен быть не менее 31·10 Па для бетонных труб, 60·10 Па для железобетонных труб нормальной прочности, 77·10 Па для железобетонных труб повышенной прочности.

Физико-механические показатели керамических труб регламентируются ГОСТ 2865 { 156 | «Трубы керамические канализационные». В соответствии с указаними стандартом прочность труб оценивается испытанием на раздавливание. Трубы диаметром от 50 до 250 мм должны высреживать 2000 кг на 1 пог. м труби что соответствует минимальной величие $R_{\rm paga}$ 80 г 06 г, Трубы диаметром от 300 до 450 мм должны выдерживать вы менее 2500 кг на 1 пог. м трубь, что соответствует с $R_{\rm paga}$ 100—123 г 10 г Па. Таким образом, получениые жегрузконные трубы имеют прочность и а раздаливание значительно больше, чем железобетонные и керамические безаноромые дольше, чем железобетонные и керамические безаноромые дольше дольше

Привлечение для исследований математического метода планирования эксперимента позволяло установить миогофакторию зависимость основных свойств экструзионного асбестоцемента от состава сырья и проектировать экструзионный асбестоцемент с заданиыми свойствами.

Физико-механические показатели экструзнонного асбестопемента (прочность и ударная вязкость) улучшаются при повышения дисперсности портландиемента, использовании пластифицирующих добавок и оптимальной продолжительности подготовки асбестоцементной массы.

Максимальная механическая прочность эксгрузионного асбестоцемента на асбесте П-5-65 в количестве 17% при обеспечении иормального процесса формования была получена при использовании портландцемента дисперсностью 4800 см³/г, пастифицирующей добавки (полнакривламида) в количестве 0,25% и продляжительности подготовки асбестоцементной массы—20 мин. В этом случае экструзионный асбестоцемент имел следующие франко-механические показатели: предел прочности при раздавливании 270-10° Пз. объемную массу 1850 кг/м², водопоглощение 15%, ударную вязкость 1,6 Дк/м².

2. ВЛИЯНИЕ РЕЖИМОВ ТВЕРДЕНИЯ

Процесс гидратации асбестоцементных смесей

Физико-механические свойства асбестоцементных изделий, полученных способом экструзии, зависят не только от состава асбестоцементной масси, но и от характера протекания процесса экструзии. Его успешное осуществление, т. е. обеспечение получения изделий без структурных нарушений, в значительной степени завити от продолжительности и интенсивности и использования вижущего. Явления пластификации асбестоцементной массы в период ее перемещивания вызываются, по-видимому, гидратацией минералов портландиементного клинкера в первый период, после затворения цемента водой.

Следует отметить, что до сего времени, несмотря на бышьше число научно-исследовательских работ, не существует единой теории процесса гидратации цемента. Наибольшей известностью пользуются теории гидратации, разработанные Ле Шателье, Михаэлисом и А. А. Байковым.

Согласно теории Ле Шателье, вяжущее, растворяясь в воде, дает пересыщенный раствор, из которого выпадают новообразования вследствие их меньшей растворимости в воде.

По Михаэлису, исходное вяжущее переходит в водный гель, который склеивает первичные частицы вяжущего и заполнителя.

цего и заполнителя.
По теорин А. А. Байкова [3], процесс твердения цемента складывается из трех этапов:

1) образование раствора, насыщенного по отношению к продуктам реакции:

 переход новообразований в раствор в гелеобразном виде, минуя растворение; 3) перекристаллизация коллондных частиц в боль-

шие кристаллы и образование сростка.

В дальнейшем В. Б. Ратинов [69] пришел к выводу о том, что процесс твердения вяжущих веществ обхсловлен растворением инетастабильных исходных фаз и выкристаллизованием из перенасыщенных растворов термодинамически устойчивых в данных условиях новообразований.

Согласно представлениям П. А. Ребиндера и его школы [74, 75]. механизм твердения вяжущих — кристаллизационный, т. е. он характеризуется образованием раствора, пересыщенного по отношению к первичному вяжущему и последующему выпадению из него новообразований, обладающих меньшей растворимостью.

Ряд исследователей— С. Д. Окороков, В. Ф. Журавлев, В. Гансен [62, 41, 31, 80, 85, 118] считают, что гидратация цемента идет путем твердофазовых реакций.

М. И. Стрелков [80] отмечает, что неменьшее значение имеют процессы, протекающие в жидкой фазе, которая является средой для переноса возникающих новообразований и их последующей кристаллизации.

А. Е. Шейкин, Т. Пауэрс [85, 118] большое значение придают образованию пленок из новообразований на поверхности исходного зерна вяжущего.

По современным представлениям гидратация цемента, т. е. взаимодействие воды с его зернами, — тиничный гетерогенный процесс, происходящий я в поверхности раздела фаз цемент — вода. Т. М. Беркович считает, что его можно раздоть на три стадии [8, 9].

1. Диффузионное продвижение воды к поверхности

зерен цемента - первая стадия.

2. Непосредственное химическое взаимодействие на поверхности раздела фаз цемент—вода — вторая стадия.

 Диффузионный отвод продуктов гидратации гидратных новообразований из поверхностного слоя в глубь жидкой фазы — третья стадия.

Диффузионные процессы протекают относительно медленно, и эта скорость определяет общую скорость гетерогенных процессов. В индукционный период про-исходит начальное взаимодействие цемента с водой.

При гидратации цементов с обичными значениями водоцементного фактора $(B/L \leqslant 1)$ индукционный период весьма мал и не превышает при комнатиой температуре одного часа. Степень гидратации при этом составляет не более 3—5% с

Работы, выполненные в НИИЦементе Ю. С. Малининым и др., привели к установлению следующей схемы процесса гидратации цементов, состоящих преимущественно из C₄S [50]. Процесс гидратации этих цементов

протекает в две стадии.

Первая — начальная стадия — происходит сразу же после затворения и продожается от 30 мин до 1 и Вторая — основная стадия — начинается примерно через 5—6 ч от начала затворения между обогии стадиям процесса. Наблюдается длительный индукционный период. Растворение минерала происходит инкотруентно с преимущественным переходом в истинный раствор ионов Са²⁺. Кремнезем остается в твердой фазе, по-видимому, в виде свободным радикалов (SiO₄) —

После достижения насыщения жидкой фазы по отношению к Са (ОН)₂ начинается и быстро протека процесс образования гидроалюмината кальция путем реакции Са (ОН)₃, находящегося в растворе, с радикалами (SiO₂)⁴. Одновременю избыток извести кристал-

лизуется и выпадает в твердую фазу.

В ходе гидратации может быть несколько (2—4) таких элементарных циклов гидратации. На определенной стадии вследствене образования под первичной оболочкой гидросиликата происходит механическое разрушение этой оболочки, что создает условие для протекания основного периода гидратации.

Значительное влияние на ускорение процесса гидратации оказывает температура, которая увеличивает кинетическую энергию молекул воды и растворенных клинкерных минералов, их тидратных новообразовалий, а следовательно, скорости их диффузии, лимити-

рующих скорость процесса гидратации [51].

Влияние температуры (T) на кинетику гетерогенных процессов в пределах каждого из осчовных периодов может быть описано уравнением типа Арреннуса, которое в интегральной форме имеет вид:

$$K_y = -\frac{E}{RT} + \ln B,\tag{42}$$

где Е — кажущаяся (условная) эпергия активации.

О. С. Волков [21] изучал кинетяку гидратации индивидуальных клинкерных минералов и асбестощемента в короткие сроки после затворения водой с помощью ренттенографического метода и показал, что в период до 1-2 ч заменно гидратируется только 62 (на 40%) и С.4F (на 30—38%). Степень гидратации C_3 5, равную 8%9, удалось установить только через 4 ч после начала процесса. К этому времени степень гидратации C_3 6, и С.4F составила 46-48%. Добавих кризогиласбеста (15%) к размолотым индивидуальным клинкерным минералам ускориют кинетику гидратации, аз 4 ч степень гидратации этих минералов в композиции, аз 4 ч степень гидратации этих минералов в композиции с асбестом составила C_3 5—19%; C_2 5—1—2%; C_3 4—77%, водотвердое $\left(\frac{B}{T}\right)$ отношение составляло 0.3—0.35

Рассматривая глубину гидратации, Грюн [89] указывает, что через 2 ч на зернах демента образетаслой ила толщиной 0,5 мк. На скорость гидратации влияние оказывает и водоцементный фактор [90]. Пги колебании $\frac{B}{\mathcal{H}}$ от 0,3 до 0,9 количество химически свы-

занной воды (в %) через 1 сутки растет от 4 до 6,6%.

нуть, что взаимодействие цемента с водой проиеходит сравнительно энергично в самом начале процесса, что может содействовать известному пластифицированно в этот период цементного теста. Такое свойство цемента может быть использовано в процессе экструзии асбестопементных масс.

В связи с указанным интерес представляет оценка реологических свойств асбестопементных смесей и, а частности, таких его характеристик, как пластическая вязкость $(P_{\rm m})$, истинный предса текучести $(P_{\rm x})$ п прочность структуры пру иругу-хрупком или эластичем разрыве, так называемая пластическая прочность $(P_{\rm x})$.

Впачительные работы по оценке реслогических характеристик цементов и материалов на их основе выполнены акалемиком П. А. Ребиндером и его школой [70, 76, 53, 27]. Изучая кинетику структурообразования ряда вяжущих для периода времени в предслах до 60 мин от начала затворения водой, Е. Е. Сегалова и П. А. Ребиндер на примере полуводного гипса показали, что пластическая прочность структуры (P_τ) реако снижается при повторых механических разрушениях. Снижение величины P_τ характерно для трехкальциевого и однокальциевого алюмината. Приведенные данные, возможно, объясняют наблюдемое нами пластифицирование асбестоцементных смесей при их длительном перемещивании.

Для оценки процесса гидратации асбестоцементных смесей, предназначенных для экструзии в ранний периом после затворения водой, нами использовались мето-

ды электронной микроскопии.

Степень гидратации (С.Г.) минерала в образце цементного теста определяется по следующей формуле:

C.
$$\Gamma.\% = \left(1 - \frac{I}{I_0}\right) 100,$$
 (43)

где I — интенсивность дифракционного пика минерала в исследуемом образце, пропорциональная содержанию этог минерала в исходном цеменге.

В асбестоцементной композици, следует дополнительно учитывать разницу в ослаблении рентгеновских лучей цементом и асбестом, вследствие чего окончательная расчетная формула имеет вил:

C.
$$\Gamma.\% = \left(1 - \frac{I}{I_0} \cdot \frac{\mu_K^*}{(1 - \text{Ca}) \mu_0^*}\right) 100,$$
 (44)

где μ_0^* — массовый коэффициент ослабления реитгеновских лучей цементом ($\mu_0^* \approx 100$ см/г для излучения Cu-K_α); μ_k^* — массовый коэффициент ослабления асбестоцементной композиции:

$$\mu_{\kappa}^* = \mu_0^* (1 - Ca) + \mu_0^* Ca,$$
 (45)

где μ_a^* — массовый коэффициент ослабления асбестом ($\mu_a^*\approx 29~{\rm cm^2/r}$ для излучения Cu·K $_{\alpha}$);

Са — относительное содержание асбеста по массе в композиции

В качестве аналитического использовался дифракционный лик С₄AF с межплоскостным расстоянием d=2,64 Å. Исследование было выполнено на рентгеновском дифрактометре УРС-50 со сцинцилляционным счетчиком. Съемку рентгенограммы проводили четырех-коватно с песенабивкой образца.

Использованная методика пригодна для изучения начальных степеней гидратации, когда еще не образуются достаточно крупные и в количествах, превышающих чувствительность ренттенографического метода, кристаллов Са (ОН) $_2$, имеющих дифракционный пик с межлоскостным расстоянием d=2,60 Å, последний накладывается на аналитический пик C_4 AF и мешает проведению анализа. Наличие в образие Ca (ОН) $_2$ определялось по велучие в име 4 9 Å

Результаты измерений степени гидратации C₄AF представлены в табл. 26 и на рис. 33.

Таблица 26. Степени гидратации С4АF

	Удельная	поверхност 3600 в см²/и	СТЕПЕНЬ ИЗЛИЧИЕ ИПТЕПСИЯТЬ СТЕПЕНЬ ИЗЛИЧИЕ ИПТЕПСИЯТЬ СТЕПЕНЬ ИПТЕПСИЯТЬ СТЕПЕНЬ ИЗЛИЧИЕ И ОСТЬ ИВИЗ САНТЬ САНТЬ ОСТЬ ИЗМИТЬ САНТЬ ОСТЬ ИЗМИТЬ САНТЬ ОСТЬ ИЗМИТЬ САНТЬ ОСТЬ ОСТЬ ОСТЬ ОСТЬ ОСТЬ ОСТЬ ОСТЬ ОС	ь цемента				
Время гидратации в мин	нитенсна- ность пнка С ₄ АF, нмп/с	ции С. АГ	кристал-	ность пика С ₄ AF,	гидра- тации С. АГ	наличне кристаллог Са(ОН),		
0	214	0		100	0			
20		0 1	_		Ų	_		
	210	Ų į			1	l –		
40	214	0	_		2	_		
60	204	1		185	2			
80	197	4	_	182	5	_		
100	184	10	_					
120	186	9	_	200	Не опре- делено	+		

Как следует из приведенных данных, рентгенографическим методом улавливается начало процесса гидратации С₄AF для цемента с удельной поверхностью 4900 и 3600 см²/г соответственно через 20 и 60 мин. после начала затворения. Это дополнительно указывает на то, что для улучшения протекания процесса экструзии предпочтительнее использовать портландцементы с повышенной диспереностью (4000—4500 см²/г).

Применение таких цементов обеспечивает повышение качества асбестоцементных изделий, полученных

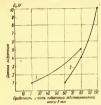


Рис. 33. Зависимость степени гидратации С₄AF от продолжительности гидратации асбестоцемента при различной дисперсности портландиемента 1— удельняя поврямость перемоста 4500 см²/г; 2 — то же, 5000 см²/г.

способом экструзии как за счет более высокой активности (марки), так и вследствие большей пластификации асбестоцементной композиции на рапних стадиях ее обработки.



Рис. 34. Электронно-микроскопический синмок твердеющего портландцемента (гидратация через 30 с после затворения портландцемента водой)

Здектронно-микроскопические симики были выполнены в физико-кимической лаборатории НИИЦемента на электронном микроскопе УЭМБ-100. Использовали портландшемент Воскрессиского цементного завода с удельной поверхностью 3600 см²р после гидратации в течение 30 с и 2 ч в тесте с В/Ц=0,3. Частички гидратирующегося цемента извлежали из теста с помощью помещенной в тесто стеклянной пластинки (гидратация в течение 2 ч) или пластинки, покрытой слоем парафина (гидратация в течение 2 ч) или пластинки реглику, причем в случае парафинированной пластинки реглику с пимали с извлечением частичек цемента. Электронно-микроско-пические симики приведены на рис. 34. На симике, полученном после 30 с гидратации, отчетиво видны иголученном после 30 с гидратации, отчетиво видементация в после за п

Можно полагать, что наблюдаемые на снимках кристаллы являются продуктом гидратации алюминатной и алюмоферритной составляющих портландцемента, скорость гидратации которых выше, чем у силикатов

кальция.

Влияние режимов твердения на свойства асбестоцемента, получаемого методом экструзии

Процессы ускоренного твердения асбестоцементных наделий, особенно в первый период после их формования, имеют важное значение для производства асбестоцементных труб и других изделий.

Для сохранения цилиндрической формы в процессе предварительного твердения трубы, после формования их на круглосеточных трубоформовочных машинах, подвергаются твердению на роликовых конвейерах в

течение 8 ч и более.

При этом для ускорения процесса твердения в конвейеры подают теплопоситель (пар), а в последнее время, по предложению И. А. Чернето, их подвергают и дополнительному увлажнению [52, 10, 28, 29]. Тем именее процесс предварительного твердения продолжителен, что требует использования конвейеров, больших по металлоемкости и протяженности. Одним из возможных путей сокращения выдерживаяния труб на конвейерах предварительного твердения является использование инфракрасного обогрева свежесформован-

ных труб.

Следует указать, что для обеспечения достаточной скорости и глубины гидратации асбестоцемента содем жание воды в матернале должно не менее чем в 2—3 раза превышать ее стехиометрическое количество, необходимое для полной гидратации клинкерных минералов.

Так, для асбестоцемента, сформованного традиционным способом (на круглосеточных машинах), увеличение в образцах $\frac{B}{H}$ с 0,24 до 0,79 приводит к уве-

личению степени гидратации портландцемента [21]. В то же время для обычного асбестоцемента при влажности полуфабриката ~25% водоцементный фактор не превышает 0.4. Между тем для нормального процесса твердения он должен быть не ниже 0.5—0.6. В сязя с этим Т. М. Берковичем был разработан метод кратковременного дополнительного водонасыщения пропаренного полуфабриката, что обеспечивает прирост прочности, особенно в первые сроки твердения (3—7 суток), в среднем на 10—15% [10].

Еще большее значение на интенсивность твердения может оказать дополнительное водонасыщение полуфабриката, изготовленного из полусухих смесей способом экструани, поскольку в этом случае водоцементное отношение полуфабриката еще ниже. Поэтому при исследовании влияния различных режимов твердения на качество труб, сформованных способом экструзии, подобовляесь и клатковпеменное уклажиение пропа-

ренного полуфабриката.

Исследования осуществлялись на трубах, полученных на экспериментальной экструзионной установке. Изучались следующие режимы твердения:

1 режим — твердение на воздухе в помещении лаборатории при комнатной температуре до момента испы-

тания;

2 режим — твердение в воде, изделия после формования сутки находились на воздухе, а затем погружались в воду с комнатной температурой и находились в ней до момента испытания;

3 режим — пропаривание и последующее твердение на воздухе, изделия после формования подвергались пропариванию при температуре 70—80°С в течение 4 ч, а затем до испытаний находились на возлухе:

4 режим — пропаривание 4 ч, последующее водонасыщение (2 ч в воде) и затем твердение на воздухе до

момента испытания.

Эффективность приведенных режимов твердения оценивали по величине прочности при раздавливании (Rpag) образцов труб диаметром 100 и длиной 200 мм.

Образцы испытывали в возрасте 7,14 и 28 сут. Результаты исследований приведены в табл. 27.

Таблица 27. Влияние режимов твердения на качество асбестоцементных труб

Режим	Характеристика	Предел прочности при раздавли вании в Па, в возрасте					
1 CMnn	режима твердения	7 сут	14 сут	28 сут			
1	Воздушное хранение	196 · 105	153 - 105	154 - 10			
2 3	Водное хранение	247 - 105	214 - 105	246 - 10			
4	хранение	203 - 105	221 - 105	225 - 10			
	менное водонасыщение+ +воздушное хранение	216 - 105	203 - 105	226 - 10			

Приведенные данные, как и следовало ожидать, показывают, что максимальная прочность образцов была получена в случае использования водного режима твердения (режим 2). При воздушном твердении наблюдастся сброс прочности в возрасте 14 и 28 сут. Временный сброс прочности при твердении цементных матриалов, как указывает И. В. Кравченко, наблюдается у значительного большинства цементов, особенно при повышении его дисперсности [47], и объясивется как внутренними усадочными напряжениями, так и процессами перекристализации глдратных новообразований, рассмотренными П. А. Ребиндером и Е. Е. Сегаловой [74].

Влияние тепловлажностной обработки и водонасыщения на физико-механические показатели асбестоцемента обусловлено, как показал рентгеноструктурный анализ, повышенной степенью гидратации силикатов

кальция (табл. 28).

Таблнца 28. Степень грдратацин силикатов кальция (C_SS+C₂S) в пропаренных асбестоцементных трубах, полученных методом экструзин

Сроки твердения в сут	Вез дополнительного водонасыщения в %	С дополнительным водонасыщением в %
3	28	47
7	38	52
14	37	57
28	53	57

Инфракрасный обогрев. Простота конструкции, удобство в обслуживании, малая инерционность, позволяющая регулировать процесс нагрева, открыли рокий путь для внедрения инфракрасных нагревателей в различных отраслях техники и, особенно, в процессах сушки. Имеется опыт по использованию инфракрасного обогрева для ускорения твердения бетонов, а также полсушки асбестоцементной пленки на сукне формовочной машины [39, 107]. Общий вид инфракрасного нагревателя, его схема и установка внутри асбестоцементной трубы показаны на рис. 35-37. Нагреватель представляет собой полдюймовую газовую трубу ной 1 м. На трубу наносили двойной слой миканитовой изоляции, поверх которой наматывали нихромовый нагреватель. В середине трубы было просверлено стие, через которое выводилась термопара, показывающая температуру нагревателя. Нагреватель ливали в свежесформованной асбестоцементной с помощью изолирующих фланцев, препятствующих доступу наружного воздуха внутрь обогреваемой бы. В изолированных фланцах имелись отверстия, даюшие возможность вволить термопару для замера пературы воздуха внутри трубы. Термопара могла перемещаться на любые расстояния от изолирующего фланца до середины длины трубы, давая возможность определить поле температур воздуха внутри трубы.

Для определения температуры стенки трубы снаружи к ней прикреплялась термопара. Нагреватель включали в электрическую цепь через лабораторный автотрансформатор, дающий возможность изменять мощность и температуру нагревателя. Для контроля потребляемой мощности проводили замеры напряжения, подавемого на нагреватель (пои фиксированном



Рис. 35. Инфракрасный нагреватель

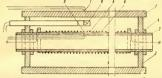


Рис. 36. Схема нагревателя и его установки внутри асбестоцементной трубы

I— асбестоцементная труба; 2—метадическая труба (корпус нагревателя); 3—изольтрующий фланец; 4—стопорная гайка; 5—няхромовый нагреватель; 6—находиця миканит; 7—термопара, измерающая тимературу стенки трубы; 8—передавжная термопара для замера температуры Воздуха; 9—термопара для замера температуры нагревателя



Рис. 37. Инфракрасный прогрев асбестоцементной трубы

электрическом сопротивлении). Измерение осуществлялось с помощью пирометрического милливольтметра МПП (класс I), градупрованного 6°С, а изменение температуры стенки трубы и температуры воздуха внутри трубы — по потенциометрической схеме с помощью универсального переносного измерительного прибора УПИП-60. Для защиты термопары, измеряющей температуру воздуха внутри трубы, от воздействия лучистого тепла королек спая защищался экраном.

При изучении влияния лучистого (инфракрасного) оботрева на твердение асбестоцементных труб провод дили сравнительные испытания на раздавливание прогретых и непрогретых (контрольных) образцов труб длиной 20 см.

Как для контрольных, так и экспериментальных образцов определяли и фиксировали: влажность смеси, объемную массу высушенного образца и водонасыщение.

Сырьем для приготовления труб, подвергавшихся инфракрасному обогреву, служил асбест П-5-65 (13%) и портландцемент Воскресенского цементного завода с удельной поверхностью 3700 см³/г. Состав смеси (кроме двух первых опытов) сотавался постоянным.

Полученные способом экструзии асбестоцементные трубы укладывали на металлический лоток и подвергали воздействию лучистого тепла в течение 10—120 мин при различных мощностях нагревателя.

Установка нагревателя внутри трубы и температурный контроль занимали не более 10 мин.

Прогретые образцы после сиятия электрического напряжения освобождали от нагревателя и оставляли на воздуже в течение суток, после чего их помещали в бассейн с водой комнатиой температрых Одновременнем опытного (обогреваемого) образца изготавливали 1—2 контрольных образца трубы, которые также ужиладывали на металлические лотки и оставляли на них в течение 1 суток, после чего помещали в водный бассейн компатной температуры. В двух опытах прогретые образцы помещали в водный бассейн непосредствения после пексовательного спетено после пексовательного светсвения после пексовательного примежения после пексовательного пексов

Водное твердение труб продолжалось в течение 13 сугок, после чего трубы вынимали из бассейна, разрезали на кольца длиной 200 мм, которые испытывали на раздавливание (через 14 и 28 суток после изготовления).

Начиная с опыта № 9, прогретые образцы и одну из контрольных труб (К1) помещали в бассейн лишь на 1 сутки, в то время как второй контрольный образец находился в воле 13 сут.

Это было следано с целью дополнительного выяснения влияния пролоджительности волного тверления

прочность труб.

Результаты опытов приведены в табл. 29 и на рис. 38-42. По данным этой таблицы построены графики изменения температуры стенки трубы, воздуха (на расстоянии 30 см от торца) внутри трубы и нагревателя. Графически определены скорости полъема температуры стенки трубы (V), воздуха (V_B) и нагревателя (V_v).

Анализ полученных данных показал, что скорость подъема температуры нагревателя опережает скорость подъема температуры воздуха, которая в свою очередь опережает скорость подъема температуры стенки трубы.

Для нагревателя, использовавшегося в наших опытах, получены эмпирические уравнения, позволившие задавать требуемый температурный режим.

(tharp) Максимальная температура нагревателя полчиняется уравнению:

$$t_{\text{Hard}}^{\text{Makc}} = 1,39 U + 96 \,^{\circ}\text{C},$$
 (46)

гле U — напряжение электрического тока.

Среднее значение скорости подъема температуры нагревателя (V_н °C мин) пропорционально электрической мошности нагревателя и описывается уравнением:

$$V_{\rm H} = 10 \ l \cdot 1,15 \ N, \tag{47}$$

гле N — электрическая мощность нагревателя (кВт); l — основание натуральных логарифмов. Скорость подъема температуры воздуха в трубе

$$(V_{\rm B}{}^{\circ}{\rm C}/{\rm M}{\rm u}{\rm H})$$
 описывается уравнением $V_{\rm B}=0.08\,U-6.7,$ (48)

где U — напряжение тока в В.

И, наконец, среднее значение скорости подъема температуры наружной стенки трубы (Уст. °С/мин) описывается уравнением

$$V_{c\tau} = 0.0266 U - 1.48.$$
 (49)

					о, получаемых мето	Mon outrible				
жу опытов	прогре-	Іапряжение В	Максимальная температура нагревателя в °С	Комечная влажность смеси в %	Средняя	R	уч к			
6	Вания	гряз	Севи	ечн жно си г	контрольный обр	азец К	прогреты	образец	через	через
Na.N	Вре	Har a B	Mai TCM H3F	Ком вля сме	через 14 сут	через 28 сут	через 14 сут	через 28 сут	14 CYT	28 сут
1 2 3 4 5 6 9 10 11 12	60 120 30 15 10 15 10 120 15 120	230 230 230 230 230 230 230 115 230	340 220 350 410 390 410 440 275 400 230	27,8 24,8 17,9 23,9 24 22,6 22,6 23,4 23,4 22,7	200·10 ⁸ 198·10 ⁹ 230·10 ⁸ 230·10 ⁸ 205·10 ⁸ — $K_1 = 227 \cdot 10^8$ $K_2 = 207 \cdot 10^8$ $K_3 = 207 \cdot 10^8$ $K_4 = 27 \cdot 5 \cdot 10^8$ $K_5 = 219 \cdot 10^8$ $K_5 = 219 \cdot 10^8$ $K_6 = 213 \cdot 10^8$	176 5·10 ⁵ 147·10 ⁵ 147·10 ⁵ 228·10 ⁵ 228·10 ⁵ 251,5·10 ⁸ 216,5·10 ⁸ 218·10 ⁸ 218·10 ⁸ 218·10 ⁸ 218·10 ⁸ 221:10 ⁸	177 · 10 ⁵ 158 · 10 ⁵ 271 · 10 ⁵ 210 · 10 ⁵ 167 · 10 ⁵ 150 · 10 ⁵ 237 · 10 ⁸ 206,5 · 10 ⁵ 242 · 10 ⁵ 220,5 · 10 ⁵		0,885 0,807 1,178 1,022 ———————————————————————————————————	
14	60	172	340	22,7	$K_2 = 235 \cdot 10^5$ $K_1 = 213 \cdot 10^5$	222·10 ⁸ 221·10 ⁶	271,5 · 105	218 - 105	0,938	0,89
15 16	20 60	230 172	440 340	19,7	$K_{2}^{1} = 235 \cdot 10^{5}$ $K_{1} = 191, 5 \cdot 10^{5}$ $K_{2} = 181, 5 \cdot 10^{5}$ $K_{2} = 191, 5 \cdot 10^{5}$ $K_{1} = 191, 5 \cdot 10^{5}$ $K_{2} = 181, 5 \cdot 10^{5}$	222·10 ⁵ 220·10 ⁵ 234,5·10 ⁵ 220·10 ⁵ 234,5·10 ⁵	208,5·10 ⁵ 193·10 ⁵	220 · 10 ⁵ 223 · 10 ⁵	1,153 1,088 1,148 1,006 1,062	0,983 1 0,918 1,013 0,932

Первые же опыты по лучистому обогреву асбестоцементных труб показали, что в процессе длительного нагрева (60—120 мин) теряется много влаги, испаряющейся из стеюм трубы. «Парение», наблюдаемое вы зульню, начинается через 8—20 мин в зависимости от скорости подъема температуры. Потеря влаги асбестоцементом в начале твердения может привести к необ-

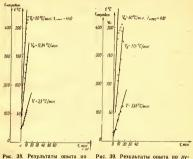


Рис. 38. Результаты опыта по лучистому прогреву , асбестоцементной трубы в течение 10 мии

— температура степки; О — температура нагревателя; х — температура туро воздуха

чистому прогреву асбестоцементной трубы в течение 15 мин Обозначения те же, что и на рис. 39

ратимым потерям прочности. Поэтому исследование было направлено как по пути использования умеренных гепловых нагрузок в течение более длительного времени (60—120 мин), так и по пути коротких по времени, по сльных по тепловому воздействию. При максимальной мощности нагревателя прогрев продолжался от 10 до 30 мин. Каждый из опытов дублировался. В ряде случаев через 10—15 мин прогрева трубу удавалось снять с дотка и хложить на поверхность. Сохранение

приобретенной формы гарантировалось во всех случаях после прогрева указанной продолжительности.

Однако прочность труб непосредственно после прогрева оказывалась еще недостаточной для укладывання их в многоярусные штабеля (допустима только одноярусная укладка труб на пол).

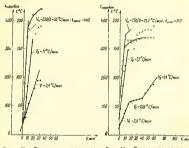


Рис. 40. Результаты опыта по лучистому прогреву асбестоцементной трубы в течение 30 мин — температура степки; 'X — температура воздуха, измеряемая на расстояния 60 см от края на рас-

Рис. 41. Результаты опыта по лучистому прогреву асбестоцементиой трубы в течение 60 мин — температура стенки; О — температура интревателя; X — температура воздуха

В опытах № 10 и 14 (см. табл. 29) трубы непосредственно после окончания протрева в течение 120 мин (опыт 10) и 60 мин (опыт 14) были помещены в водный бассейн на 1 сутки. Результаты испытаний этих образцов показывают, что такая технология твердения может быть использована в далынейшем.

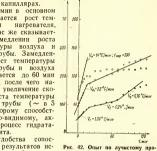
В случае продолжительного протрева труб (60— 120 мин), когда температура нагревателя после достижения максимального значения остается постоянной, на графиках зависимостей температуры воздуха и стенки трубы от времени отмечаются перестибы, т. е. изменяется скорость роста температуры. Для этих кривых можно выделить три участка с различными скоростями тепла экзотермии в процессе разогрева стенки трубы и воздуха, а также замедлением испарения волы из стенки трубы по мере гидратации вяжущего и уменьшения количества капиллярной влаги. особенно в с...

крупных капиллярах. К 15 мин в основном заканчивается рост температуры нагревателя. что тотчас же сказывается на замедлении роста температуры воздуха и стенки трубы. Замедленрост температуры стенки трубы и возлуха продолжается до 60 мин прогрева, после чего начинается увеличение скорости роста температуры

по-вилимому, активный процесс гилратании пемента. Для удобства сопоставления результатов исследования труб на раздавливание было использовано отношение Ялуч

раз), которому способст-

стенки



греву асбестоцементной трубы течение 120 мин Обозначения те же, что и на рис. 4_

(прогретые трубы) к $\dot{R}_{\rm M}$ (контрольные образцы) (табл. 29). Поскольку, начиная с опыта № 9, контрольных образнов было лва (К, и Ка) с различными сроками водного твердения, были сопоставлены полученные результатами с обоими контрольными образцами.

 R_{nyq} Если отношение больше единицы, то чистый обогрев труб дает положительный эффект твердении, если же это отношение меньше единицы, влияние прогрева отрицательно. В сволной таблице приведены эти отношения как после 14-суточного, так и после 28-суточного хранения образцов. Как вилно из этих результатов, трубы, полвергнутые инфракрасному обогреву, обладают прочностью, как правило, не меньшей по сравнению с контрольными образцами.

Дальнейшая работа по инфракрасному обогреву должна идти по пути применения коротких интенсивных обогревов с 1—1,5-часовой выдержкой на воздухе и последующим водным твердением. Динтельное же воздействие высокой температуры приводит к большим потерям влаги до начала интенсивной гидрагации, которые с трудом компенсируются при дальнейшем водном твердении.

Йсследование кинетики гидратации экструзновного асбестоцьента, подвернутого лучистому прогрему, проводилось с помощью рентгенографического метода с использованием ренттеновского дифрактометра УРС-50И. Измерялась интенсивность дифракционных пиков $C_{3}S$ (d=1.76 Å) и $C_{3}A$ (междлоскостное расстояне d=2.70 Å). В каместве контрольного облазив в

ние d=2,70 Å). В качестве контрольного образца, в котором устанавливалась величина U использовалась асбестоцементная композиция того же состава, тодвергнутая гидратации в мешалке в течение 10 мин.

Так как ожидаемые степени гидратации были сравнительно невелики, а интенсивности I и I₀ близки, то для снижения потрешности определения величины степени гидратации измерения интенсивности выполнялись 15—20 раз с перенабивкой образца.

Опытные образцы одной серии подвергали твердению без прогрева в течение 45 и 120 мин после формования изделия в экструзновном прессе, а образцы другой серии— инфракрасному прогрему в течение 45 и 120 мин. Результаты измерений предстазлены в табл. 30

Как следует из привеленных в табл. 30 данных, в результате прогрева существенно увеличивается степень гидратации клинкерных минералов. Дополнительным подтверждением является величина интенсивности дифракционного пика Са (ОН) $_2$ (d = 4,92 Å). Дифракционного пика Са (ОН) $_2$ отчетливо паблюдается только на рентгенограммах образиов, подвертнутых инфракрасном у прогрему экстоузонных асбестовментым труб.

Результаты выполненных исследований поэволяют отметить, что инфракрасный обогрев может быть применен как средство ускорения предварительного твердения асбестоцементных труб. Применение инфракрас-

Таблица 30. Степень гидратации минералов портландцемента в зависимости от режима предварительного твердения труб, полученных экструзнонным способом

	C	s	Ca		
Режимы твердения	интенсивиость в имп/с	степень гид- ратации ва%	интенсивность в имп/с	степень гид-	Интенсивность дифракционно пика Са (ОН); в имп/с
Исходная асбестоцементная смесь	370	0	150	0	0
45 мни твердения, без подогре-	350	7	140	9,5	0
Инфракрасное прогревание в те- чение 45 мин	330	11	120	20	35
120 мин твердения, без подогревания	340	7,5	130	11	0
Инфракрасное прогревание в те- чение 120 мин	320	15	1.0	33	87

ного обогрева позволяет существенно (до 1—1,5 ч) сократить время пребывания труб на конвейерах (логках), предназначенных для сохранения их формы, после чего трубы могут быть уложены на плоскую поверхность. Положительное влияние инфракрасного прогрева объясняется интенсификацией процесса гидратации клинкерных минералов при повышенной температуре.

Пластифицирующий эффект, проявляющийся по мере увеличения продолжительности перемешивания асбестоцементной массы, может быть объясиен процессом гидратации в указанный период клинкерных минералов и прежде всего алюминатов и алюмоферритов кальния.

Для улучшения процесса экструзии и повышения качества асбестоцементных изделий предпочтительно использовать портландцементы с повышенной дисперсностью (не менее 4000—4500 см²/г).

Пля обеспечения повышенной механической прочности готовых взделий нанболее целесообразным режимом твердения с точки зрения реальных условий пропіваюдства является пропариванне наделий и их последующее кратковременное водонасыщение в течение 1,5—2 ч. Одним из способов существенного ускорения процесса предварительного твердения асбестоцементных труб, получаемых способом экструзии, является инфракрасный прогрев, ускоряющий процесс гидратачии клинкерных минерадов в ранние сроки.

глава у

ПРОЕКТНЫЕ РЕШЕНИЯ ЭКСТРУЗИОННОЙ ТЕХНОЛОГИИ ПРОИЗВОДСТВА АСБЕСТОЦЕМЕНТНЫХ ИЗДЕЛИЙ

Экструзночная технология производства асбестоцементных изделий может создаваться на основе двух схем подготовки асбестоцементной массы.

Обе эти схемы должны обеспечить подготовку асбестоцементной массы, пригодную для экструзии.

Первая схема предусматривает полусухой способ подгоговки асбестопементной массы. Отдозированная порция асбеста подвергается обмятию в бегупах, а затем сухой распушке в дезинтеграторе. Распушенный асбест потдозированная порция цемента тщательно смешиваются, увлажняются до заданной влажнюсти и снова тщательно перемешиваются для получения достаточно однородной асбестопементной массы. В случае необходимости в асбестопементную массу может вводиться пластифицирующая добавка. Подготовленная асбестопементные маделия. По вкогоро формуются асбестопементные маделия. По вкогоро экструдера изделие подвергается обреже, а затем твердению (предварительному) и окончательному).

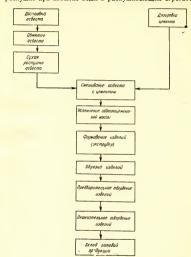
По такой схеме приготовления асбестоцементной массы осуществлялся основной эксперимент, результаты которого описаны выше.

Эта схема приготовления асбестопементной массы легла в основу разработанного в НИИАсбестцементе проекта экспериментальной технологической линии изготовления асбестоцементных безнапорных труб способом экструани.

По второй схеме предусматривается мокрый способ подготовки асбестоцементной массы. По этому способу

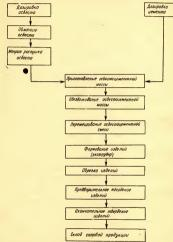
асбестоцементную массу приготовляют так же, как массу предназначенную для формования изделий на круглосеточных машинах.

Асбест подвергается обминанию в бегунах, затем распушке при избытке воды в распушивающем агрегате



(голлендере или гидропушителе). Далее в голлендере или турбосмесителе распушенный асбест тщательно смешивается с цементом. Следующей основной операцией

является обезвоживание полученной асбестоцементной массы до влажности, при котгорой можно подвергать ожегрудированию. В качестве аппаратов, в которых возможно обезвоживание, могут быть использованы фильтренессы, пентрифуги, а также круглосеточные машины [17]. Обезвоженная таким образом масса подвергается



дополнительному перемешиванию, после чего поступает в экструдер для формования. Дальнейший технологический процесс не отличается от процесса по описанной выше схеме производства. Такая технологическая схема подготовки асбестоцементной массы позволяет более полно использовата а р-мирующие свойства асбеста, поскольку оп подвергается достаточно полной распушке. Однако одновременно ода требует включения в технологическую линию дополнительных агрегатов, роль которых состоит в обезвоживавании асбестоцементной суспензии и перемешивании массы перед ее экструдированием.

Возможность изготовления асбестоцементных изделий способом экструзии с применением второй схемы подготовки асбестоцементой массы была проверена в условиях Белгородского комбината асбестоцементных

изделий.

Известно, что при наготовлении на круглосеточных листофромовочных машениях листовых изделий производится обрезка свежесформованных листов. Полученные обрезки постугают в обрезомешалку и далее в виде суспензии возвращаются в ковшовую мешалку. При этом хотя возврат обрезков листов и сказывается на снижении качества готовой продукции, однако их использование является обязательным, поскольку они содержат от 5 до 7% сырыя, используемого в производстве.

Было предложено использовать указанные обрезки асбестоцементных листов, получаемых по традиционной технологии, для изготовления способом экструзии без-

напорных труб.

Схема опытного производства состояла в следующем. Обрежи дистов поступали на транспортер и с его помощью загружались в специальные мешалки, в которых перерабатывались в течение 7—10 мин. Подготовления асбестопьементную массу загружали в экструдер, на которого она в виде сформованной трубы выходила на примыный логок (рис. 43). С последнего трубы укладывались на поддоны, на которых они твердели в течение 44 ч, а загем выдерживали в горячей воде также 24 ч,

После предварительного твердения производилась обрезка труб на специально сконструированном станке, а затем трубы укладывали в штабель на складе (рис. 44), где они находились в течение 12—14 суток после изговления. После испытаний трубы отгружали потребителю и укладывали в опытные участки для прокладки

телефонного кабеля (рис. 45).

Трубы изготавливали из обрезков листов типа ВО с использованием в смеске 50% асбеста П-5-65 и 50% ас-

беста М-6-40. Полученные трубы имели предел прочности при раздавливании 120— $140 \cdot 10^5$ Па и среднюю плотность 1600 кг/м^3 .

Опыт работы на Белгородском комбинате показал возможность получения способом экструзии безнапорных асбестоцементных труб, используя для этой цели в качестве сырыя обрезки сформованных листов. Кроме того, была подтверждена возможность формования экструзи-



Рис. 43. Формование асбестоцементных безнапорных экструзионных труб из обрезков листов



Рис. 44. Экструзионные трубы на складе готовой продукции

ей асбестоцементных труб без применения пластифицирующих веществ, что явилось результатом применения предложенного способа и оборудования.

Выполненные и изложенные в настоящей книге результаты исследований и экспериментальных работ по созданию экструанонной технологии изготовления асбес-



Рнс. 45. Опытный участок прокладки телефонного кабеля с использованием экструзнонных асбестоцементных труб

тоцементных труб были использованы при проектировании экспериментальной технологической линии.

Схема экспериментальной линии для производства безнапорных асбестоцементных труб способом экструзии, разработанной в институте НИИАсбестцемент, представлена на рис. 46.

Линия предназначена для осуществления непрерывного процесса производства асбестоцементных трубвнутренням диаметром 100 мм с голщиной стенки 8— 10 мм. Работа линии автоматизирована, управление ею производится оператором с чульта. Производительность линии 150—180 пог. м в ч труб длиной до 3000 мм. Общее время твердения труб на линии 8 ч. В том числе 3 ч на желобчатом конвейере и 5 ч на роликовом конвейере. Установленняя мощность выигателей 33.5 кВт.

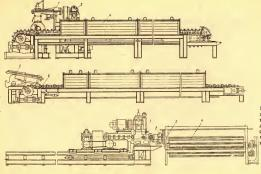


Рис. 46. Схема экспериментальной технологической линин производства асбестоцементных безиапорных труб способом экструзии

Габаритные размеры линии (без заготовительного

ілина						4946
шнрина						992
высота						162

Линия состоит из вакуум-пресса 1, режущего механизма 2, промежуточного поддерживающего желоба кустановки предварительного твердения желобиатого конвейера 4, перекладчика труб 5, установки твердения роликового конвейера 6, гидросистемы и системы автоматического управления.

Асбестонементная масса подается из заготовительного отделения в вакум-камеру пресса, в которой посредством водокольцевого вакуум-насосного агрегата ВК-4 поддерживается вакуум порядка 700 мм рт. ст. При входе в вакуум-камеру, масса дробится вращающимся ножом на мелкие гранули, что облегчает звакуацию обеспечивают се поступление в шиек пресса. Шнек пресса транспортирует массу от вакуум-камеры, к соплу скимая се до давления в 50-10⁸ Па и выдавливая через сопло в виде трубы, когорая поддерживается промежуточным желобом и поступает в желоб установки предварительного твердения.

После выдачи трубы установленной длины ее передний край нажимает на поворотный стержень конечного выключателя, чем дается команда на включение элект-

ромагнитной муфты механизма резки.

Механизм резки делает один оборот (расчетное время срабатывания механизма — 1 с), прорезает трубу ножами и после возвращения в исходное положение выключается посредством конечного выключателя (обеспечи-

вающего выключение электромагнитной муфты).

Прорезанная ножами труба продолжает двигаться по желобу до тех пор, пока ее передний край нажмет на второй конечный выключатель, чем дается команда на смену желобов, которая осуществляется следующими операциями: гидропилицар отводит желоб со свежесформованной трубой от вакуум-пресса и ставит его в один ряд со всеми остальными желобами установки предварительного твердения. В конце хода гидроцилиндра срабатывает ред. двяления, чем дается команда на включение гидропривода установки предварительного твердения, который посредством храпового механизма продвигает установку на один шат, при этом желоб со свежесформованной трубой своим роликом попадает в направляющую раму установки, а свободный желоб своим роликом — в вилку гидроцилиндра. В конце кода гидроцилиндра привода установки срабатывает конечный выключатель, который подает команду гидроцилиндру на обратный (холостой) ход и гидроцилиндру, посредством которого свободный желоб подается к экструдеру для принятия очередной трубы.

Во время операций смены желобов формуемая труба поддерживается промежуточным желобом, служащим одновременно и фиксатором для сменных желобов установки предварительного твердения (желобчатый кон-

вейер).

Желобчатый конвейер двигается в камере, в которой создается паровоздушная среда с температурой 50— 60°С при относительной влажности не менее 80%, чем ускоряется процесс твердения. За это время трубы набирают прочность, достаточную для их перекладки в дав ряда на установку твердения (ролнковый конвейер).

Операция перекладки осуществляется перекладчиком, состоящим из кантователя у укладчика. Труба из желоба установки предварительного твердения попадает на пандус и, скатываясь по нему, нажимает на конечный выключатель, который дает импулье на счетчик количества выработанных линией труб и на включение электроляитагеля привода кантователя. После пападуса труба попадает в захваты непрерывно вращающегося кантователя, который передает ее на укладчик, представляющий собой также пандус, но закрепленный на качающейся раже.

Качание нижней части укладчика осуществляется посредством кривошипов, приводимых в движение гидроцилиндром через рычаг и цепные передачи.

Верхияя часть укладчика движется на роликах по направляющим. Благодаря этому осуществляется укладка вырабатываемых труб на установку твердения в два ряда. Во избежание сильных ударов труб при укладке над пандусом укладчика расположен гидропилинар сопровождения, который своими резиновыми упорами придерживает трубу, не давая ей набрать чрезмерно большую скорость.

Установка твердения труб представляет собой роли-

ковый конвейе, мак и установкое перемещения с таким же издворий водом, как и установку трубы уклады тердения. Так как на эту установку трубы укладывогся в установку трубы уклады от издержения и предержения и щение на два перемещения гидропривода установки предварительного твермения.

Установка твердения, на которой трубы находятся в течение 5 ч, также закрыта тоннелем, в котором для ускорения процесса твердения создается паровоздушная среда с температурой 50—60°С при относительной влаж-

ности не менее 80%.

После прохождения предварительного твердения трубы передаются на складское хранение или на другие технологические операции, например автоклавирование при использовании песчанистого портландцемента. 1. Аморян А. С. О тренин и боковом давлении торфа малой

степени разложения. Труды, вып. 12, 1963.

2. АргоЮ. А. Основные прочностные и деформативные свойства асбестопемента при поперечном изгибе и олноосном растяжении и сжатин. Трулы НИИАсбестцемента, вып. 16, 1963.

3. Байков А. А. Гидравлические цементы и гидравлические по-

бавки, их состав, твердение и разрушение в природных условиях. Собрание трудов, т. V. АН СССР, 1948.

4. Беркович Т. М. и др. Производство асбестоцементных изделий. М., Госстройнздат, 1962. 5. Беркович Т. М., Комаров В. А. Формование крупнораз-

мерных асбестопементных листов из конпентрированных суспензий,

М., Стройиздат, 1969. 6. Беркович Т. М. Влияние технологических факторов на де-

формативные свойства асбестоцемента для строительных конструкпий. «Строительные материалы». 1960. № 4. 7. Беркович Т. М., Новикова Д. А. Технологические свойства портландцементов в производстве асбестоцементных изделий.

Труды ВНИИАсбестцемента, вып. 8, 1958.

Беркович Т. М. Труды НИИАсбестцемента, вып. 15, 1962.
 Беркович Т. М. Комбинированная гидротермальная обра-

ботка асбестоцементных изделий. М., Стройиздат, 1967. 10. Беркович Т. М. и др. Интенсификация процесса твердения асбестоцементных листов на портланлиементе путем пополнительного кратковременного увлажнения полуфабриката. Труды НИИАсбестцемента, вып. 15, 1962.

11. Беркович И. И. Исследование внешнего трения торфа н фактической площади контакта применительно к процессам прессо-

вания. Диссертация. Калинин, 1966.

12. Беркович И. И. и др. Исследование трения верхнего тор-

фа. «Горный журнал». Из-во вузов, 1966, № 8. 13. Берней И. И. Формование асбестоцементных листов. М.,

Стройиздат, 1969. 14. Берней И. И. Прочность и морозостойкость асбестоцементных листов в зависимости от их объемного веса. «Строительные ма-

терналы», 1962, № 2.

15. Береснев Б. И., Верещагин А. Ф., Рябинский Ю. Н. О выдавливании металлов жидкостью, находящейся под высоким давлением. Известия АН СССР, Отделение технических наук. «Механика и машиностроение», 1959, № 1.

16. Блох Г. С., Литвинов А. Н. Асбестоцементные материалы и конструкции и их эксплуатационные качества. М., Госстройизпат. 1964.

17. Боязный Л. С., Волчек И. З. Авторское свидетельство No 338390 1979

18. Булавии И. А. Оборудование керамических и огнеупорных

заволов. М., Госстройизлат, 1965.

19. В етров Ю. А. Тренне между ножом и грунтом в процессе резания. Научи. докл. Высшей школы. «Строительство», 1958, № 2. 20. В о е в о д с к и й В. А. Механическое оборудование для про-

нзводства асбестоцементных изделий. М., «Машиностроение», 1960. 21. Волков О. С., Соколов П. Н. Кинетика гидратации портланацемента и влияние на нее побавки асбеста. Трулы НИИАсбестиемента, вып. 22, 1968.

22. Волчек И. З., Круня З. Ф. Влияние усилий прессовання полусухих асбестоцементных смесей на физико-механические свойства листовых изделий. НИИАсбестцемент. Труды, вып. 19, М., Госстройизлат, 1964. 23. Волчек И. З., Круня З. Ф. Интенсификация процесса

тверления и улучшение свойств асбестонемента, получаемого из полусухих смесей, НИИАсбестцемент, Труды, вып. 20, М., 1965.

24. Волчек И. З. Авторское свидетельство СССР № 774925, 1965

25. Волчек И. З., Валюков Э. А., Подкорытов В. П. Авторское свидетельство № 1248617, 1968.

26. В олчек И. З., Лукошкина Л. А. Об использовании ми-

неральной ваты в произволстве листовых асбестопементных изделий. Техинформация ЦНИИТЭСТРОМ, М., 1965. 27. Волчек И. З. Оценка процессов тверления яченстых бего-

нов до автоклавной обработки с помощью реологических характеристик. НИИЖБ. Сб. трудов № 8, М., 1958.

28. Волчек И. З., Данилина Т. И. и др. Произволство ас-

бестоцементных труб автоклавным способом. «Строительные материалы», 1966, № 3. 29. В одчек И. З., Данилина Т. И. Опыт освоения автоклавной технологии асбестоцементных труб на Акмянском заводе.

Техинформация, ЦНИИТЭСТРОМ, 1967 30. Волчек И. З., Валюков Э. А., Полкорытов В. П. Экструзнонный способ изготовления асбестоцементных и других во-

локнистоцементных изделий. «Строительные материалы», 1968, № 7. 31. Гансен В. Третий международный конгресс по химин цемента. М., Госстройнэдат, 1958.

32. Глухов Е. Е., Клаз С. И. Вопросы реологин в процессах переработки пластмасс в изделия. «Пластические массы», 1960, № 5.

33. Горяйнов К. Э., Волчек И. З., Уткин В. В. Авторское свидетельство № 89514, 1950.

34. ГОСТ 1839-48. Труды и муфты асбестоцементые для безнапорных трубопроводов.

35. ГОСТ 6482-53. Трубы бетонные и железобетонные безнапопные. 36. ГОСТ 286-54. Труды керамические канализационные.

37. Гук Г. Я. н др. Пластическое формование металлов. М., «Металлургия», 1968.

38. Гура Г. С. О приближениом расчете коэффициента трения скольження твердых тел по грунту. «Вестник машиностроення», 1963, № 7.

39. Данилов Н. Н., Пермяков Ю. М. Разработка техноло-

гин возвеления высотных сооружений в скользящей опалубке с применением нифракрасных лучей МИСИ им. Куйбышева, М., 1965. 40. Дерягни Б. В. Что такое тренне? Изд. АН СССР, 1962.

41. Журавлев В. Ф. Химия вяжущих веществ. Химиздат.

42. Зевин Л. С., Фланцбаум И. М. Исследование пренмушественной описитировки асбеста в асбестопементных материалах реитгенографическим методом. Труды НИИАсбестцемента, № 21.

43. Китаев Е. Н. Влияние условий производства на качество асбестопементных листовых изделий. Трупы НИИАсбестцемента.

1960, вып. 12.

44. Китаев Е. Н. О выборе цементов для производства асбестопементных изпелий высокого качества. Трулы НИИАсбестпемента. 1962. вып. 14.

45. Комская М. С. Изучение движения глиннстой массы в муилштуках денточных прессов метолом моделирования. Кнев. Гос-

стройиздат УССР, 1959.

46. Королев К. М. Производительность ленточного пресса при производстве пустотных керамических изделий. «Стекло и керамика». 1953. № 9.

47. Кравченко И. В. Глиноземистый цемент. М., Госстройиздат, 1961.

48. Крагельский И. В. Тренне и износ. Машгиз, 1962.

49. Лукошкина Л. А., Давыдова Ф. Л. Влияние сорта н количества асбеста на физико-механические показатели асбестопемента, Труды НИИАсбестцемента, вып. 2. М., Промстройнздат, 1951. 50. Малинии Ю. С., Лопатинкова Л. Я., Гусева В. И.,

Клишанис Н. Д. К вопросу о гидратации и твердении портландцемента. Международная конференция РИЛЕМ. М., 1964.

51. М н р о н о в С. А. Температурный фактор в твердении бетона. М., Госстройнздат, 1948.

52. Михалевская Е. С., Волков О. С., Буланова Л. П., Беркович Т. М. Влияние водоцементного фактора на книетику гидратации цемента и асбестоцемента. Труды НИИАсбестоцемента, вып. 15, 1962.

53. Михайлов Н. В., Ребиндер П. А. О структурно-механических свойствах дисперсных и высокомолекулярных систем, «Кол-

лондный журнал», т. 17, вып. 1955.

54. Мороз П. С. Новые машины для прессования листовых асбестоцементных изделий. Институт информации Минстройдоркоммунмаш. Инф. сообщение № 1, 1967.

55. Мороз П. С., Нейфельд М. С. Новые машины для производства асбестоцементных коньковых деталей, «Строительные ма-

терналы», 1966, № 12. 56. Налимов В. В., Чернова А. А. Статистические методы планирования экстремальных экспериментов. М., «Наука», 1965.

Нечнпоренко С. П. К теории обработки пластичных ке-рамических масс. Из-во АН УССР, Киев, 1959.

58. Николаев К. Н., Боровков И. А. Экспериментальное определение коэффициентов трения асбестоцементных смесей. Труды

ВНИИСтроммаш, № 6, 1966. 59. Николаев К. Н. Исследование процесса уплотиения асбестоцементных смесей при полусухом формовании. НИИСтроммаш, сб. НТИ № 2, 1961.

60. Носенко Н. Е. Гершкович Б. Н. Экструзионный асрегат для получения погонажных изделий. Авторское свидетельство Nº 80134, 1950.

61. Оборудование для производства строительных материалов. М., Машгиз, 1959.

62. Окороков С. Л. К вопросу о механизме «коллондации» по А. А. Байкову при твердении и вяжущих веществ. Труды совещания по химии цемента. М., Промстройиздат, 1956.

63. Отливанчик А. Н. Произволство и применение древесностружечных длят. М., Госстройиздат, 1962.

64. Отлев И. А., Модлян Б. Д. Производство древесно-стружечных плит. М., «Высшая школа», 1966. 65. Пи ц к с л в. Л. Н. Асбестоцементные лотковые плиты. М.—Л., Госстройнздат, 1952.

66. Пицкель Л. Н., Русина М. С. Об одноролности асбесто-

цемента. «Строительные материалы», 1960. № 11.

67. Приходченко П. П. Оборудование для переработки пластических масс. «Строительные материалы», 1964, № 6.

68. Пузиков Ю. Д. Изобретатель и рационализатор, 1963, № 9, 1964, № 5, 1967, № 4.

69. Ратинов В. Б. и др. О механизме кристаллизации состав-

ляющих цементного камня. ДАН СССР, № 136, № 6, 1961. 70. Ребиндер П. А. Физико-химическая механика. М., «Знание», 1958.

71. Руднева Л. Н., Сотникова К. В. Выпуск большеразмерных асбестоцементных листов на автоматизированном оборудова-

нии. «Строительные материалы», 1965, № 5.

72. Сапожников М. Я. Механическое оборудование для про-

изводства строительных материалов и изделий. М., 1962. 73. Сатарин В. И., Акопян В. А. Асбестоцементная про-

мышленность, Состояние и перспективы развития. М., Госстройизлат. 1961. 74. Сегалова Е. Е., Ребиндер П. А. Современные физико-

химические представления о процессах твердения минеральных вяжущих веществ. «Стронтельные материалы», 1960, № 1.

 Сегалова Е. Е., Амелина Е. А., Ребиндер П. А.
 Роль величины пересыщения в формировании кристаллизационных структур твердения. «Коллондный журнал», т. XXV, № 2, 1963.

76. Сегалова Е. Е., Изманлова В. Н., Ребиндер П. А.

ЛАН СССР, т. 110, вып. 5, с. 808, 1956.

77. Силин В. А. Исследование и расчет вязкопластического течения глиняной массы в конических насалках и муништуках ленточных прессов. Труды НИИ местной и топливной промышленности. вып. 12, 1958.

78. Славина Т. М., Соколов П. Н. О влиянии минералогического состава и дисперсности цемента на физико-механические свойства и морозостойкость асбестоцемента. Труды НИИАсбестцемента, вып. 13, 1962.

79. Соколов П. Н. Технология асбестопементных изпелий. М., Стройиздат, 1968.

80. Стрелков М. И. Изменение истинного состава жилкой фазы, возникающей при твердении вяжущих веществ и механизм их твердения. Труды совещания по химии цемента. М., Промстройиздат, 1956.

 Терцагн Қ. Теория механики грунтов. М., Госстройиздат, 1960.

82. Фадеева В. С. Оптимальная влажность для формования строительных изделий из пластических дноперсиых масс. «Стекло и керамика, 1959, № 8.

83. Фадеева В. С. Формуемость пластических дисперсных масс. М., Госстройнялат. 1961.

84. Фельзенбаум В. Г. Асбестоцементная промышленность

за рубежом. М., Госстройнэдат, 1960. 85. III ейкин А. Е. Пути получения высокопрочных бетонов.

«Бетон н железобетон», 1957, № 4.

химиздат, 1962. 87. Building Research т. 3. № 2, 111—IV. 1966.

87. Building Research T. 3, № 2, 111—IV, 196 88. Die Bauwistschaft 1969, Heft 24.55.

88. Die Bauwistschaft 1969, Fielt 24, 55. 89. Crün. W, Wiss Z. Hochschulle Archetecturing Barwesen, Weimer 6, 18, 1958—59.

90. Tarlin J. H. Australian Journ. of Appliedscince 10, № 3. 1959.

92. Патент США 3.118.808 кл. 162—402.

93. Патент Англин 815372 кл. 87/2 1959. 94. Патент Италин 60027979 кл. В 28 с.

95. Патент США 2,144,213, 1939.

96. Патент США 2,344,959 1944. 97. Патент США 2,392,190 1946. 98. Патент Англии № 590040, 1947.

99. Патент США № 2434690, 1948. 100. Патент США № 3219467, 1965.

Патент США № 3219467, 1965.
 Патент Австрални № 257776, 1965.
 Патент Англии № 922427, 1965.

103. Патент США, № 3271186, 1965.

105. Патент Англии 1,121,803, 1968. 106. Патент Австрни 290.371, 1971.

106. Патент Австрии 290.371, 1971. 107. Патент Японии 12436 22 с. 38. 108. Патент США 3,529,981, 1970.

109. Патент США 3,532,985, 1971. 110. Патент США 3,549,737, 1970. 111. Патент США, 3, 667, 977, 1972.

112. Проспект фирмы «Johns — Manville». США, 1970.

113. Проспект фирмы «Johns — Manville». США. Панели для торцовой облицовки зданий, произведенные методом А. С. Е.

торцовой оолицовки здании, произведенные методом А. С. Е. 114. Проспект фирмы «Johns — Manville». США. Новые материалы для облицовки зданий по кирпичной кладке.

рналы для облицовки зданий по кирпичной кладке. 115. Проспект фирмы «Eternit». А. С. Е. Амстердам, 1969.

116. Проспект фирмы «Universal Asbestos Manufacturing». Англяя. 117. Проспект фирмы «Nadsovi» Япония.

117. Проспект фирмы «Nadsovi» япония. 118. Powers T. «Zement—Kalk—Gips», 1961, № 3.

119. Schwezer Baublott 1968, № 22.

ìΤ. 19 ΙX

ОГЛАВЛЕНИЕ	0-
Предисловие	Стр.
Глава I, ОСНОВНЫЕ ТЕНДЕНЦИИ ТЕХНИЧЕСКОГО РАЗВИТИЯ ПРОЦЕССОВ ФОРМОВАНИЯ АСБЕСТОЦЕМЕНТА	4
1. Новые технологические процессы в производстве асбестоцементных изделий	4
 Экструзнонный способ формования в технологии пронзводства различных материалов и изделий. Развитие экструзнонного способа формования ас- 	8
бестоцементных изделий в СССР и за рубежом .	9
Глава II. ФИЗИКО-ТЕХНИЧЕСКИЕ СВОИСТВА АСБЕСТОЦЕМЕНТА, ПОЛУЧЕННОГО МЕТОДОМ ЭКСТРУЗИИ	16
 Номенклатура асбестоцементных изделий, полу- чаемых способом экструзии, и области их приме- 	16
нения 2. Физико-технические свойства изделий, получае- мых способом экструзии	22
Глава III. КОНСТРУКЦИИ ЭКСТРУДЕРОВ И ПРОЦЕСС ФОРМО- ВАНИЯ АСБЕСТОЦЕМЕНТА	25
Конструкция экструдеров Характеристика исходных сырьевых материалов Фрикционные спойства асбестовементых смесей Давление асбестовементый массы в экструдере Орнентация волоком асбеста при экструдировании асбестовементной массы	25 29 32 43 49
Глава IV. ВЛИЯНИЕ КАЧЕСТВА СЫРЬЯ И ДРУГИХ ТЕХНОЛО- ГИЧЕСКИХ ФАКТОРОВ НА СВОЙСТВА АСБЕСТОЦЕ- МЕНТА, ПОЛУЧАЕМОГО СПОСОБОМ ЭКСТРУЗИИ .	55
Влияние сырья и режимов его подготовки Влияние режимов твердения на свойства асбесто- цемента, получаемого методом экструзии	55 85
Глава V. ПРОЕКТЫЕ РЕШЕНИЯ ЭКСТРУЗИОННОЙ ТЕХНОЛО- ГИИ ПРОИЗВОДСТВА АСБЕСТОЦЕМЕНТНЫХ ИЗДЕ- ЛИИ	98
Список литературы	108
НОСПФ ЗАЛМАНОВИЧ ВОЛЧЕК, ЭДУАРД АЛЕКСЕЕВИЧ ВАЛЮКОВ	
ПРОИЗВОДСТВО АСБЕСТОЦЕМЕНТНЫХ ИЗДЕЛИЙ МЕТОДОМ ЭКСТРУЗИИ	
D	

Редакция литературы по технологии строительных материалов Зав. редакцией З. К. Қосяквиа

. . .

Редактор Н. М. Николаева Мл. редактор Л. А. Табачанк Технические редакторы Т. В. Кузнецова, В. Д. Павлова Оформление обложка художника А. А. Бекна-зарова корректоры В. А. Бикова, Л. П. Бирькова

Сдано в набор 2.VII. 1974 г. Т-02827 Фолм Подписано к печати 20.1, 1975 г. Формат 84×1081/гг. Бумага типографская No 2.

5,88 усл. печ. л. (уч.-изд. 6,26 л.) Типаж 2000 экз. Изд. № АУПП—4174

Зак. № 358 Цена 31 коп.

Стройиздат 103006, Москва, Каляевская 23,а

Подольская типография Союзполиграфпрома при Государственном комитете Совета Министров СССР по делам издательств, полиграфии и клажной торговля г. Подольск, ул. Кирова, 25 Пена 31 коп.

